



Oddělení funkční genomiky a proteomiky
Národní centrum pro výzkum biomolekul
Přírodovědecká fakulta MU



Charakterizace proteinů hmotnostní spektrometrií

Bi7050

Část IV

Zbyněk Zdráhal

Centrální laboratoř-Proteomika, CEITEC-MU
Oddělení funkční genomiky a proteomiky, NCBR PřF
zdrahal@sci.muni.cz

MS CHARAKTERIZACE MODIFIKACÍ POSTTRANSLAČNÍ

Fosforylace

*Protein Phosphorylation is of Fundamental Importance in Biological Regulation
cca 10-30% of all proteins are phosphorylated*

⊕ S, T, Y 1800 : 200 : 1 www.protein.sdu.dk

⊕ H ???

Whereas phosphorylation of **serine, threonine or tyrosine** results in the formation of a **phosphoester linkage**, phosphorylation of **histidine** residues occurs **on nitrogen atoms**, producing a phosphoramidate bond. Phosphohistidines have a large standard free energy of hydrolysis making them **the most unstable** of any known phosphoamino acid.

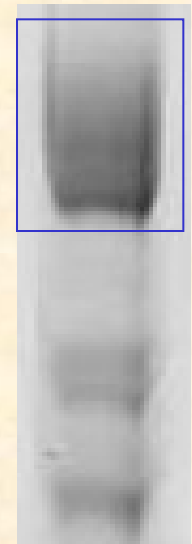
Klumpp et al, *Eur. J. Biochem.* **269**, 1067-1071 (2002)

Phosphorylation sites db: <http://phospho.elm.eu.org>

Fosfoproteom - Potížista

- potlačení signálu v MS
 - pouze malá část z celkového počtu proteinů je fosforylovaná
(přednostní ionizace nemodifikovaných peptidů)
- většina signálních proteinů je v buňce v nízkých koncentracích
- protein se může vyskytovat v různých fosfo formách
- proteiny mohou být v řízeném zpracování defosforylovány fosfatázami

úprava vzorku
obohacení



Specifické barvení fosforylovaných proteinů, 2D GE



phosphoproteins
(Pro-Q Diamond , **blue**)
proteins
(SYPRO Ruby, **red**).

alternativa
Metabolické značení ^{32}P
měření radioaktivity

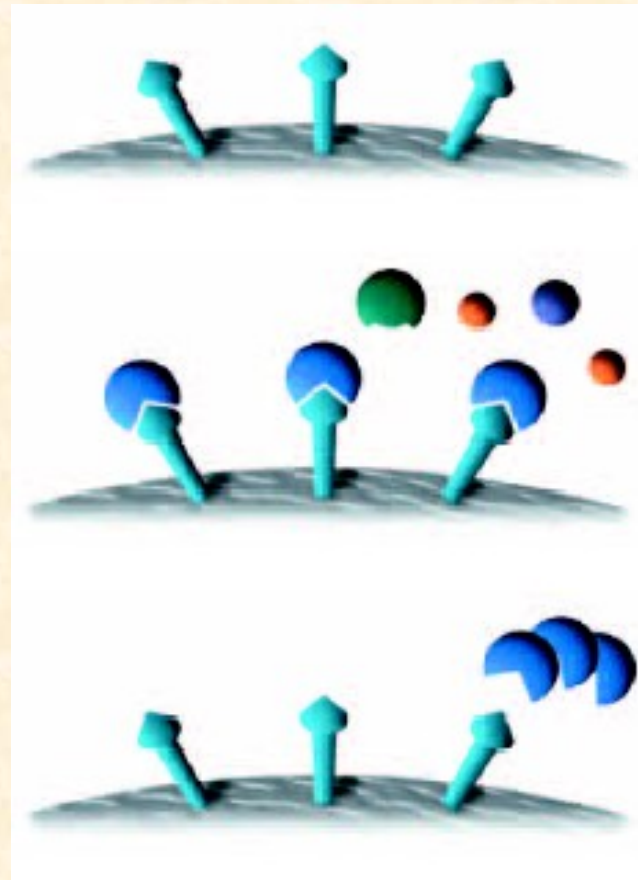
immunoblotting

phosphatase treatment
phosphoproteins display a
basic shift in their pI after
the dephosphorylation.
comparison 2D gels

(from the Molecular Probes website)

Immobilized metal affinity chromatography (IMAC)

charging

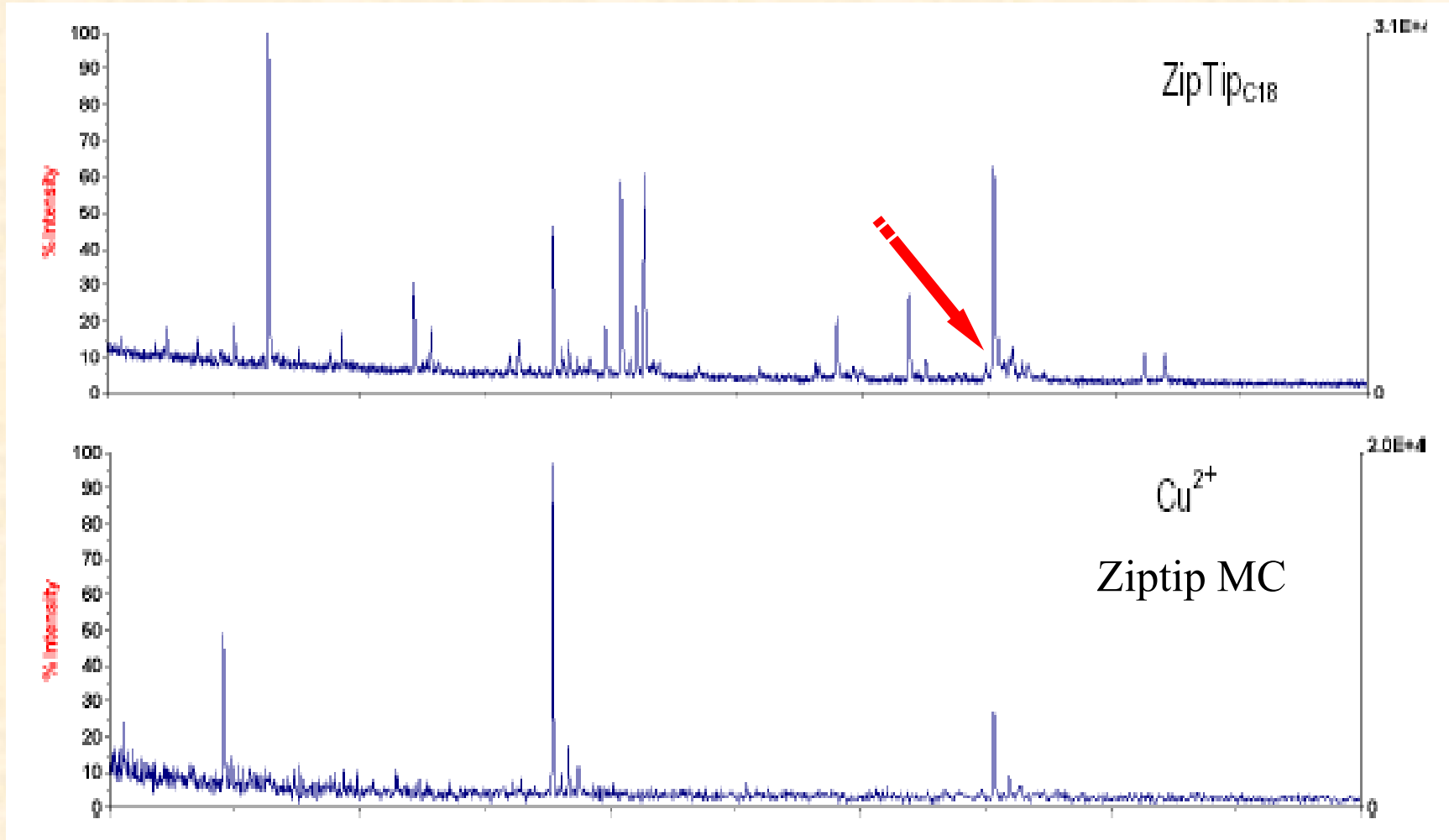


specific binding

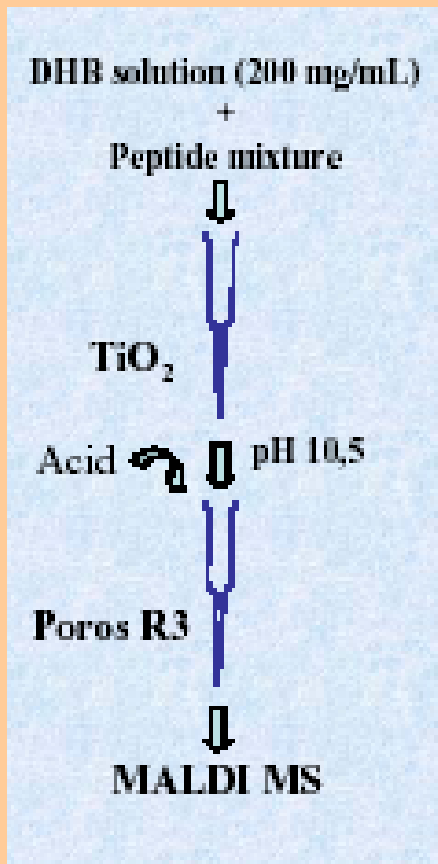
elute



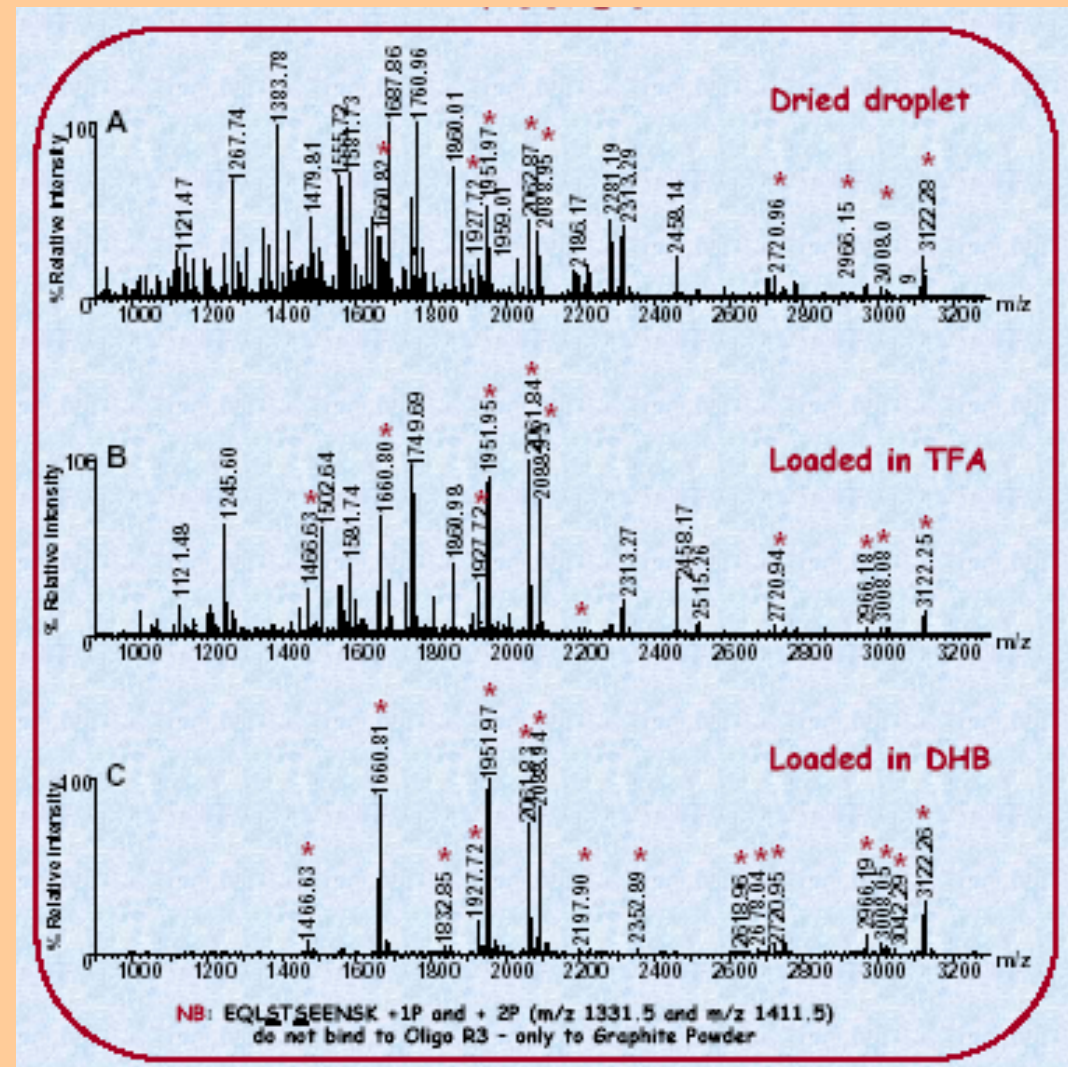
IMAC enrichment of -Casein phosphopeptides (1 pmol of tryptic digest)



Enrichment of phosphopeptides by TiO_2



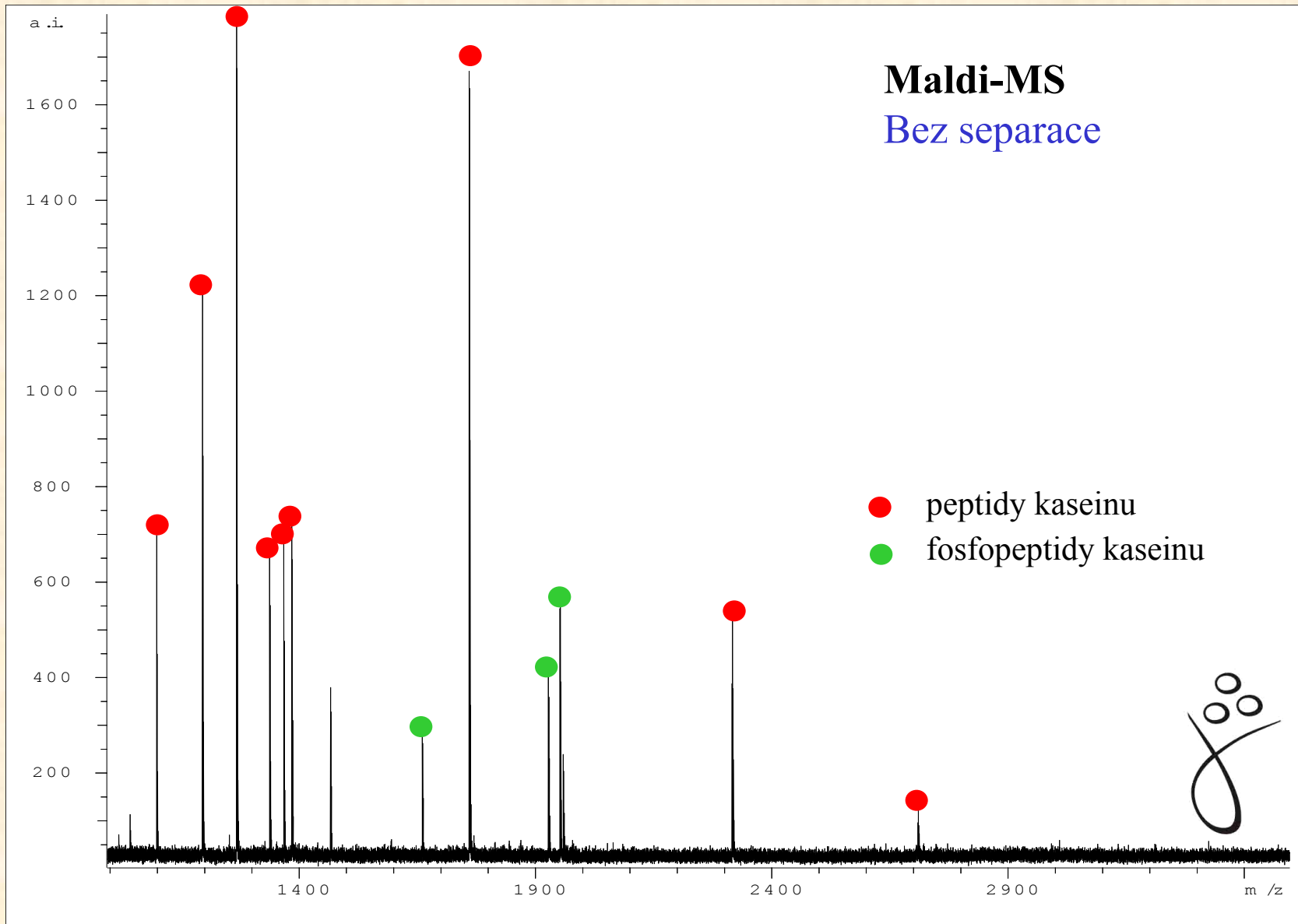
eluce změnou pH



z posteru M.R. Larsena, HUPO, 2005

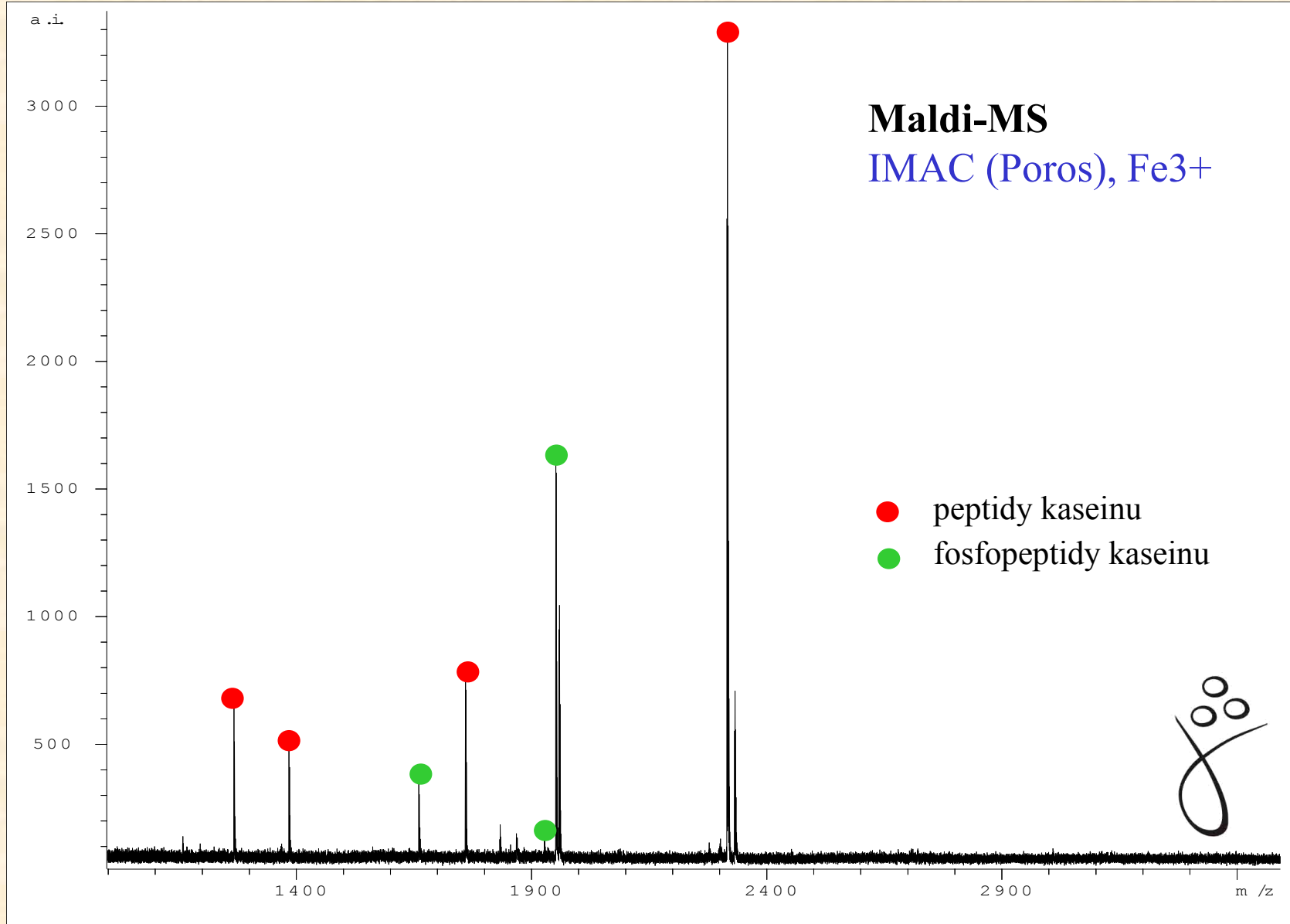
Kasein (1 ug) po digesci trypsinem

Bi7050



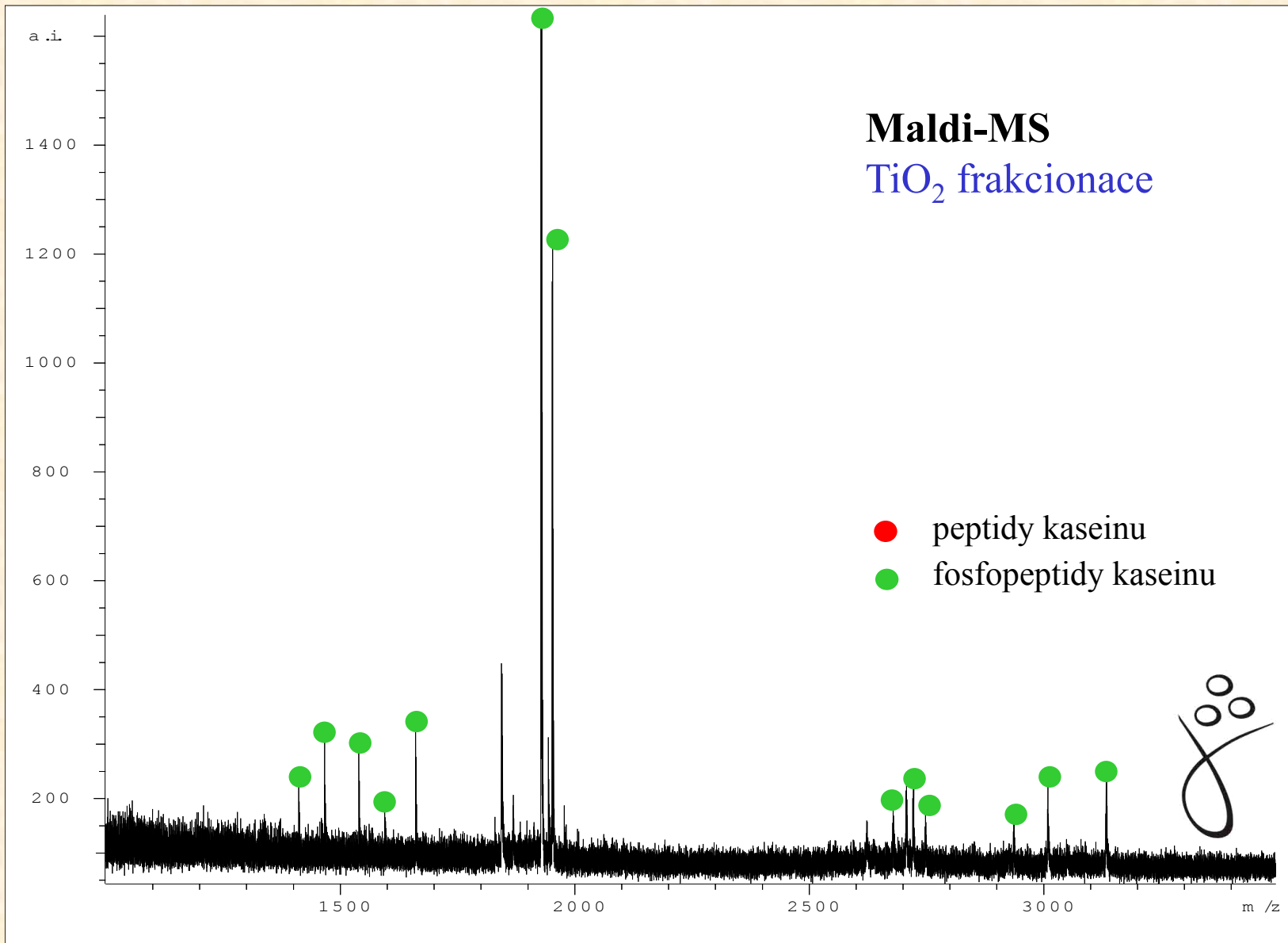
Kasein (1 ug) po digesci trypsinem

Bi7050

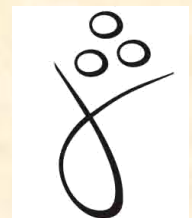
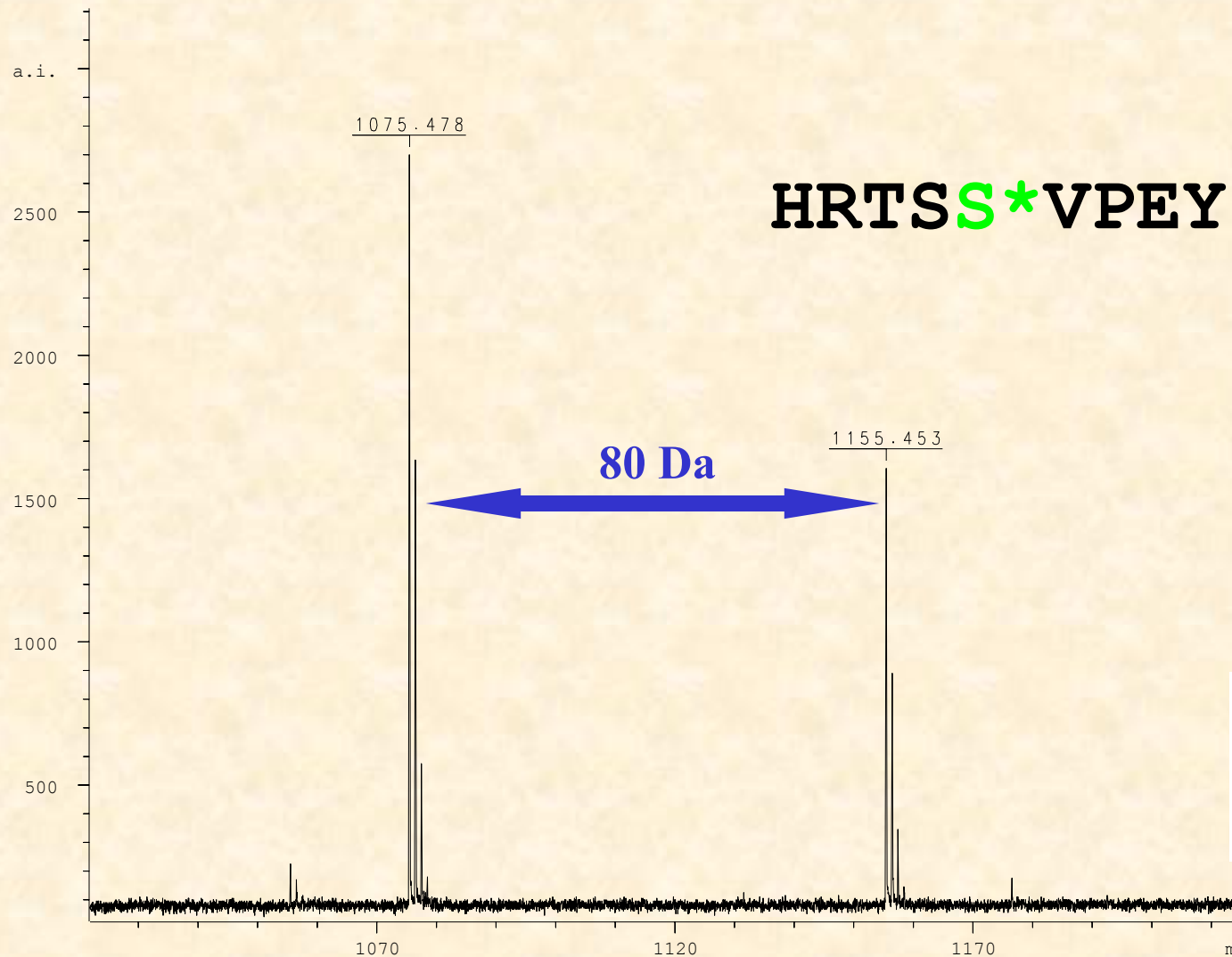


Kasein (1 ug) po digesci trypsinem

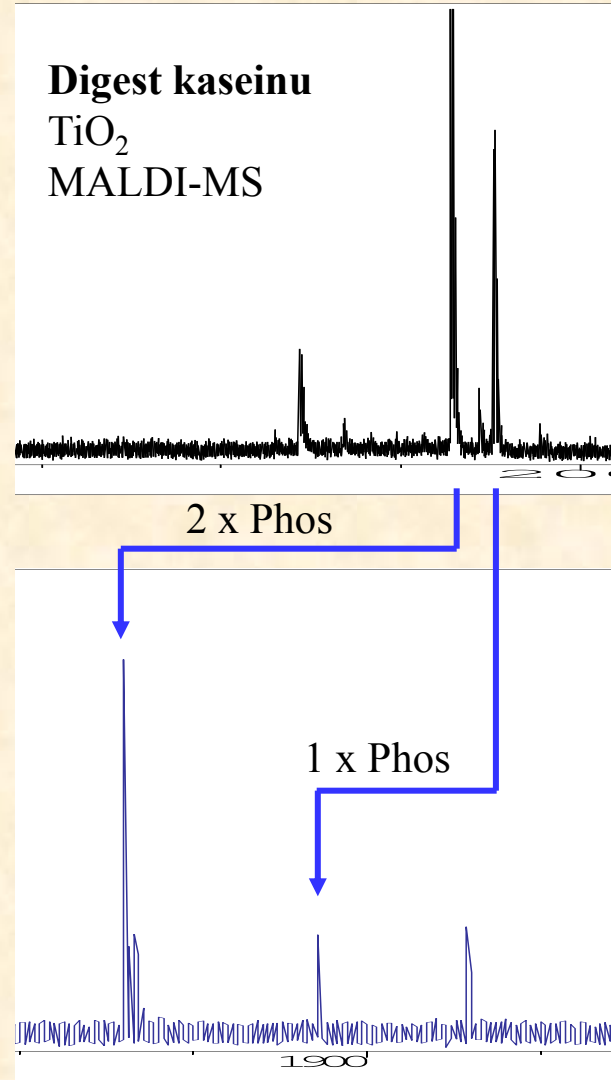
Bi7050



MALDI-MS spektrum peptidu bez a s fosforylací

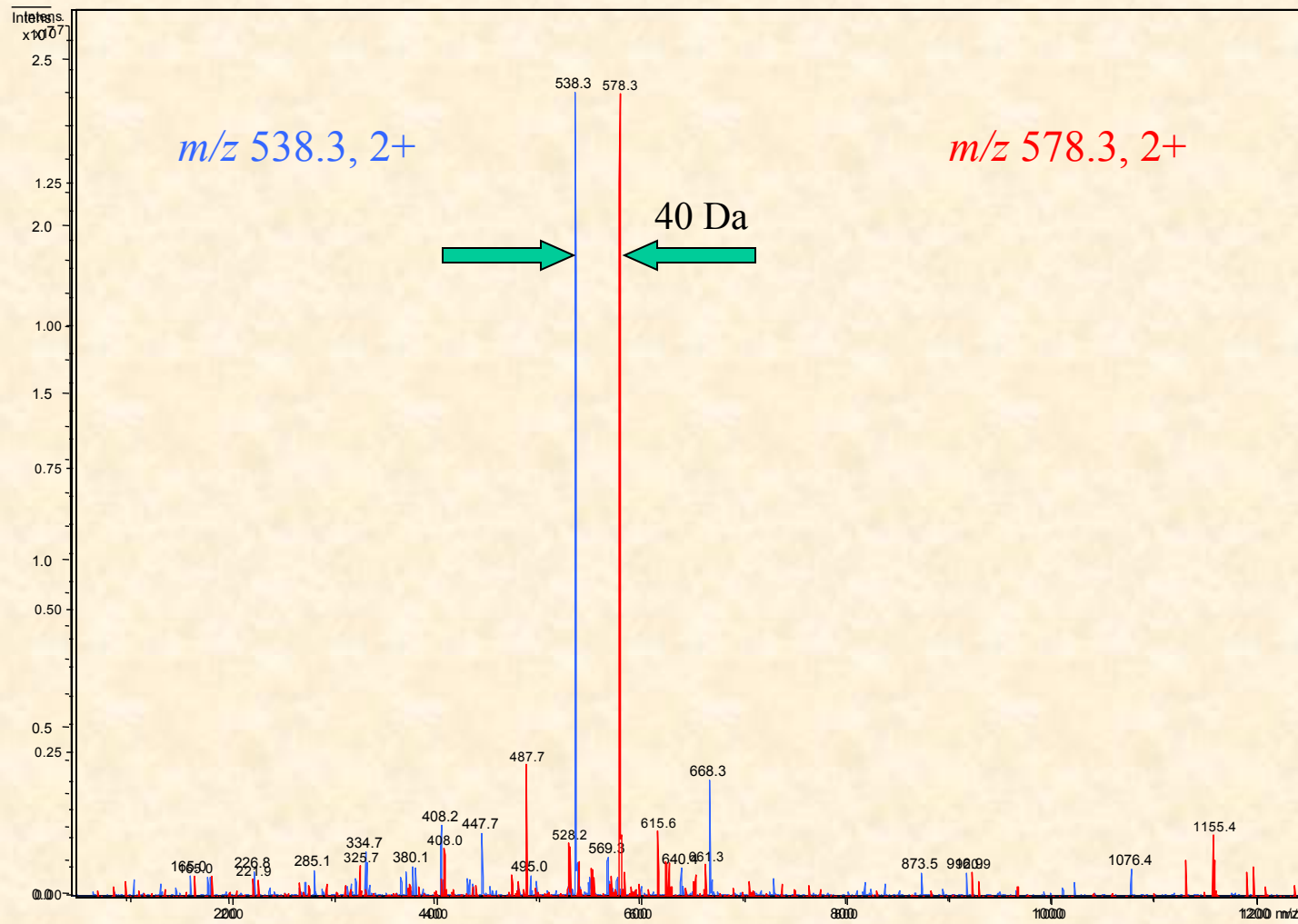


Potvrzení fosforylace pomocí alkalické fosfatázy



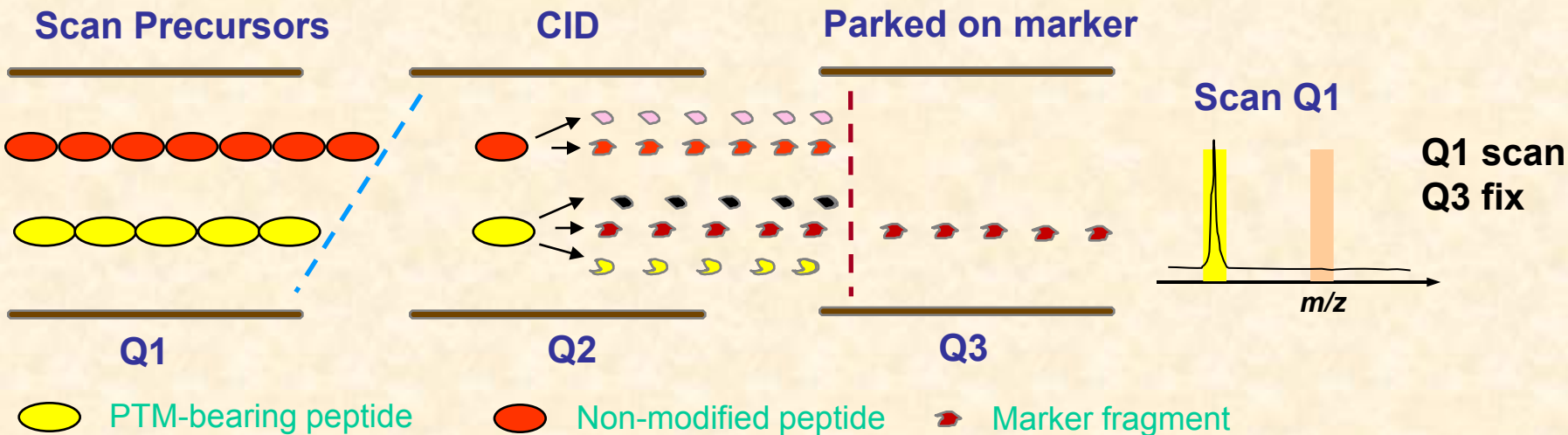
ESI–MS (IT) spektrum peptidu bez a s fosforylací *positive mode*

Bi7050



Precursor Ion Scan

Sken prekurzorů



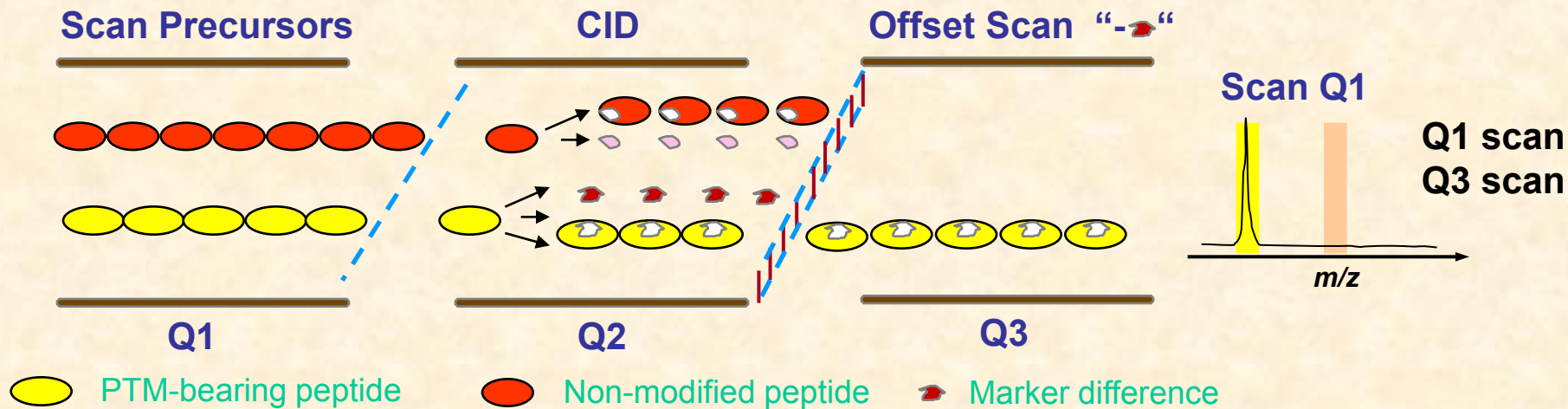
- ✿ kvadrupol **Q1** analyzuje všechny ionty prekurzorů, zaznamenány jsou jen prekurzory, z kterých vznikl fragmentací v kolizní cele (Q2) vybraný fragment s hledaným rozdílem v m/z
- ✿ kvadrupol **Q3** propouští na detektor pouze vybraný fragment (marker)

Marker fragment examples

- -79 for phosphorylation (PO_3^-)
- +204 for N-glycosylation (HexNAc)
- +216 for Phosphotyrosine (pY immonium ion)

Constant Neutral Loss Scan

Sken neutrální ztráty



- kvadrupol **Q1** analyzuje všechny ionty prekursorů, zaznamenány jsou jen prekurzory, z kterých fragmentací v kolizní cele (Q2) vzniká fragment s odpovídající neutrální ztrátou (tj. nejčastěji $M_{\text{prekursor}} - M_{\text{neutrální molekula}}$)
- kvadrupol **Q3** oproti **Q1** skenuje s posunem odpovídajícím hmotnosti vybrané neutrální ztráty

Constant Neutral Loss Scanning examples

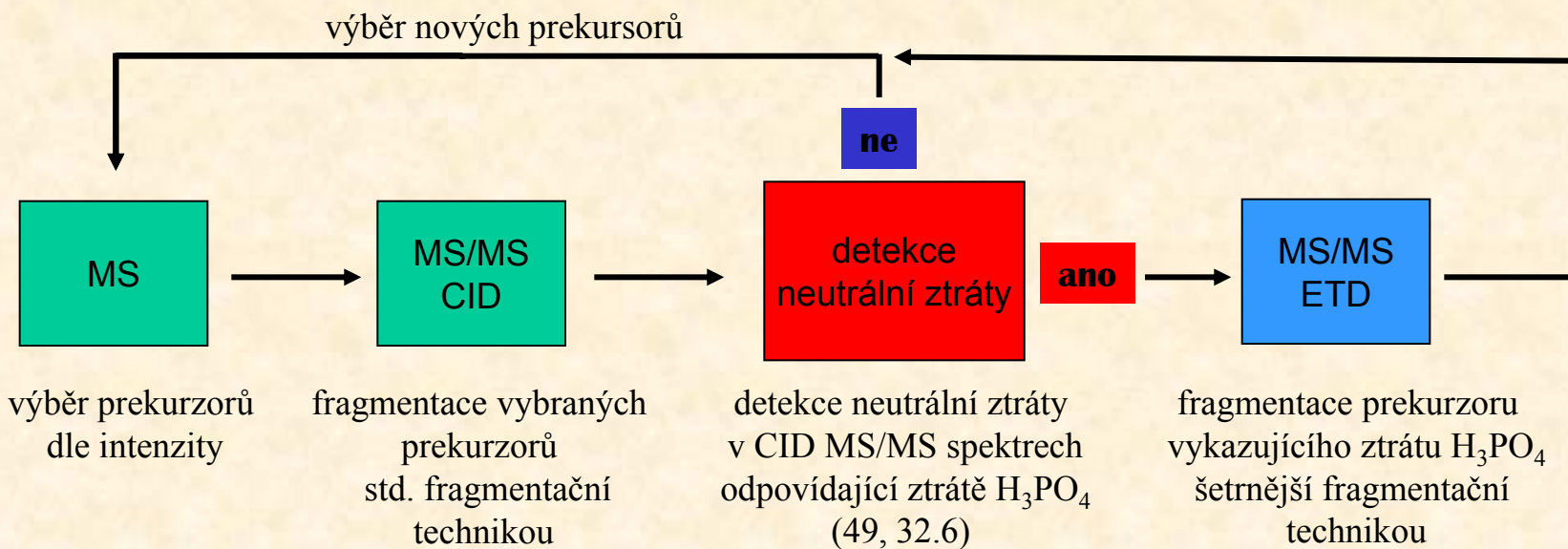
- $\Delta 49$ for doubly charged phosphopeptides ($\text{Peptide}^{2+}-\text{H}_3\text{PO}_4$)
- $\Delta 32.7$ for triply charged phosphopeptides ($\text{Peptide}^{3+}-\text{H}_3\text{PO}_4$)

Fosforylace histonu H4 kinázou Aurora B

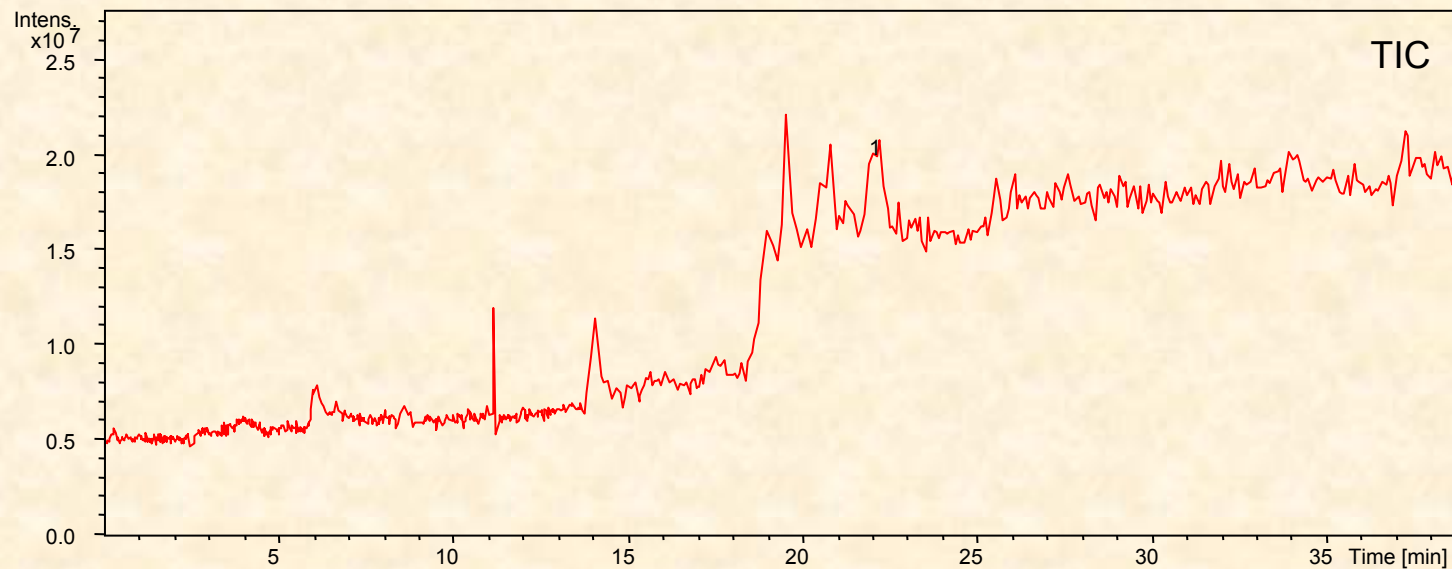
(K. Nováková)

- fosforylace
- proteolytické štěpení trypsinem
- frakcionace fosfopeptidů na TiO_2
- LC-MS/MS analýza – sken neutrální ztráty (ETD)

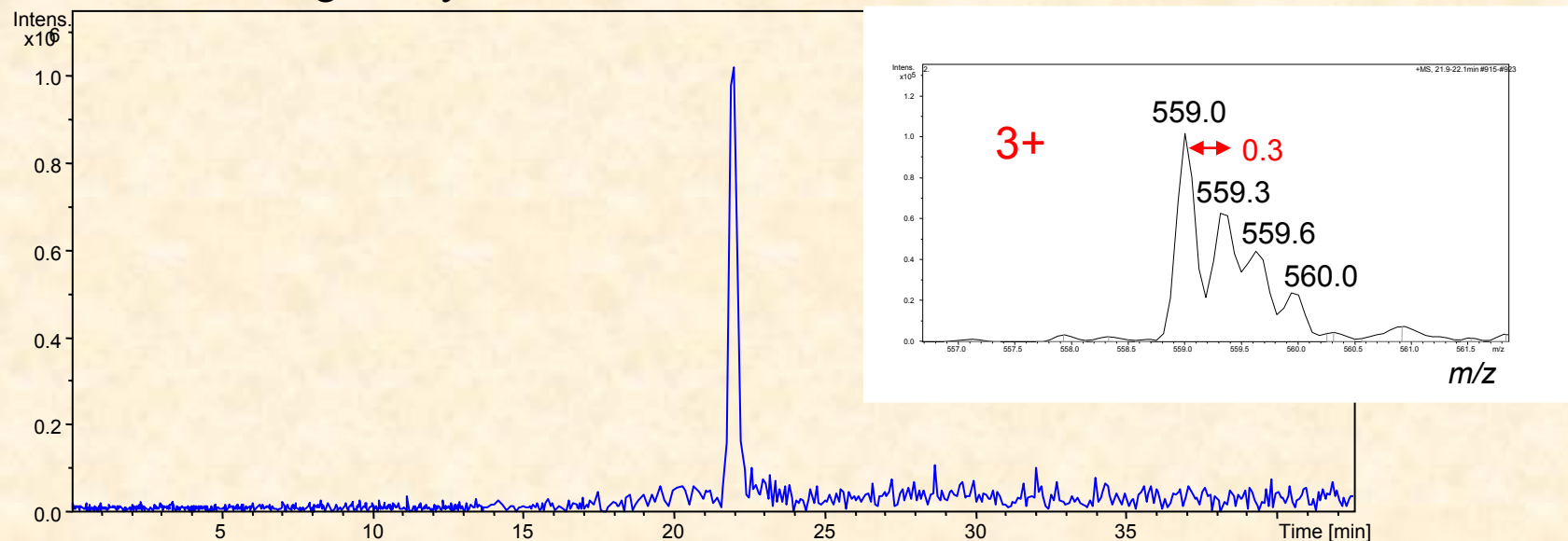
Schéma MS analýzy

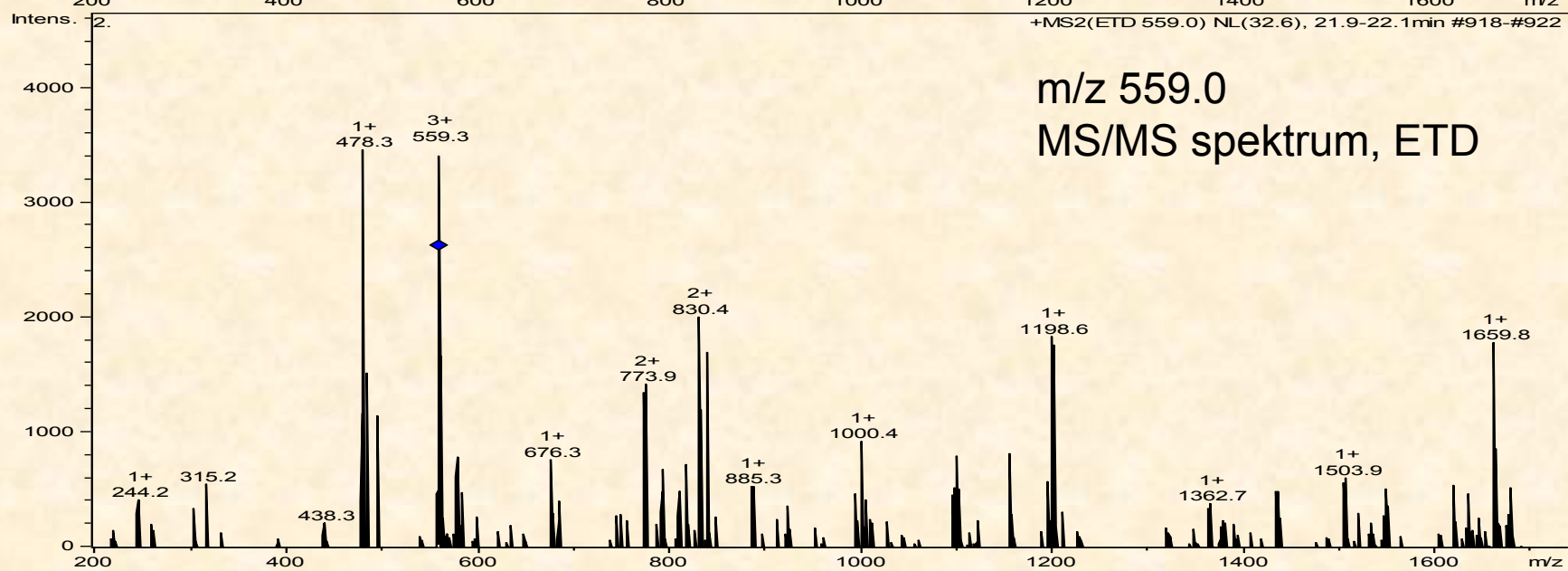
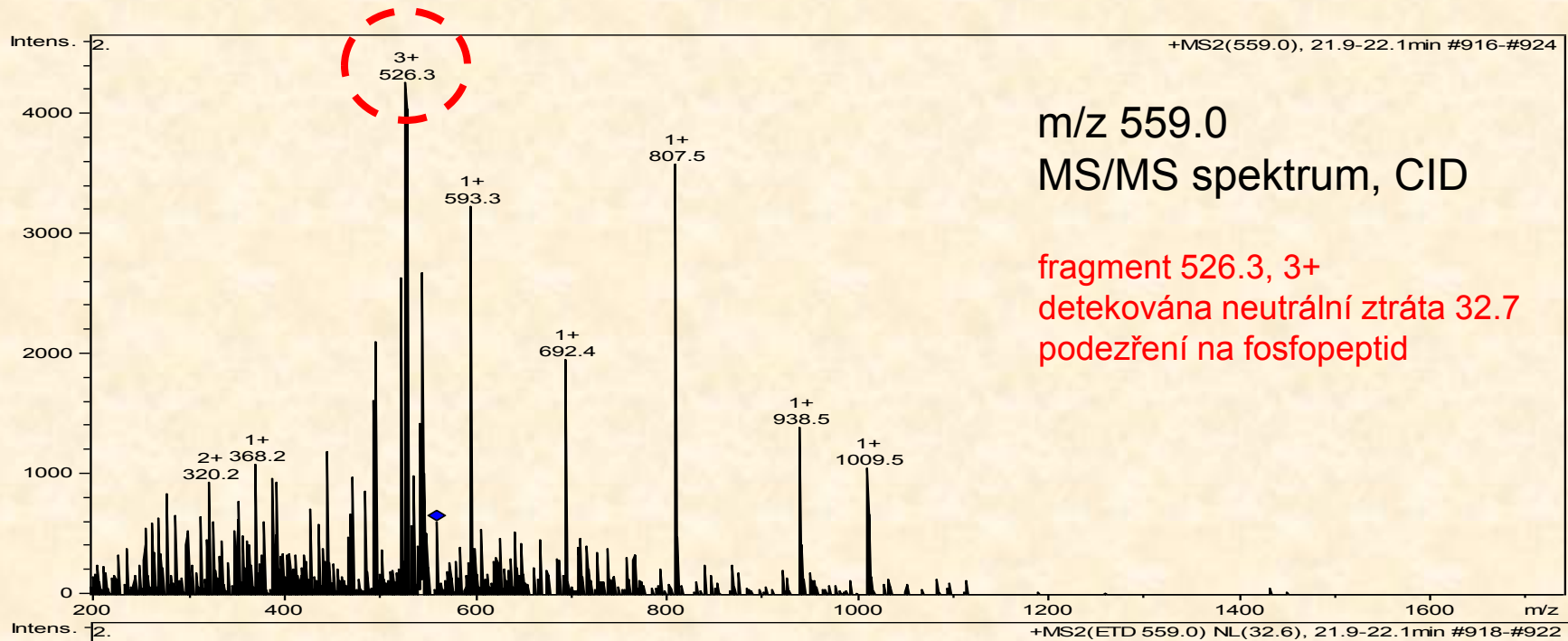


LC-MS chromatogram



MS chromatogram vybraného iontu o m/z 559.0





Identifikace peptidu databázovým prohledáváním MS/MS Ion Search (MASCOT)

<i>m/z</i>	Charge	RT (min)	Expect Mr
559.0	3+	22.063	1674.0

MASCOT

- gi|223582 Mass: 11230 Score: 74 Queries matched: 2
histone H4

Observed	Mr(expt)	Mr(calc)	Delta	Miss	Score	Expect	Rank	Peptide	CID
558.98	1673.93	1673.86	0.076	2	(23)	7.8	1	K.RK <u>T</u> VTAMDVVYALK.R + Phospho (ST)	CID
558.98	1673.93	1673.86	0.076	2	75	5e-05	1	K.RK <u>T</u> VTAMDVVYALK.R + Phospho (ST)	ETD

Modifications: Optional: Phospho (ST)

Search Parameter: Charge=2+ and 3+, MS Tol.:0.500000 Da, MSMS Tol.:0.500000 Da, Trypsin
Mascot 2.2.03, NCBIInr NCBIInr_20081101.fasta

Biotools

	Score (Biotools)	Score (Mascot)
--	---------------------	-------------------

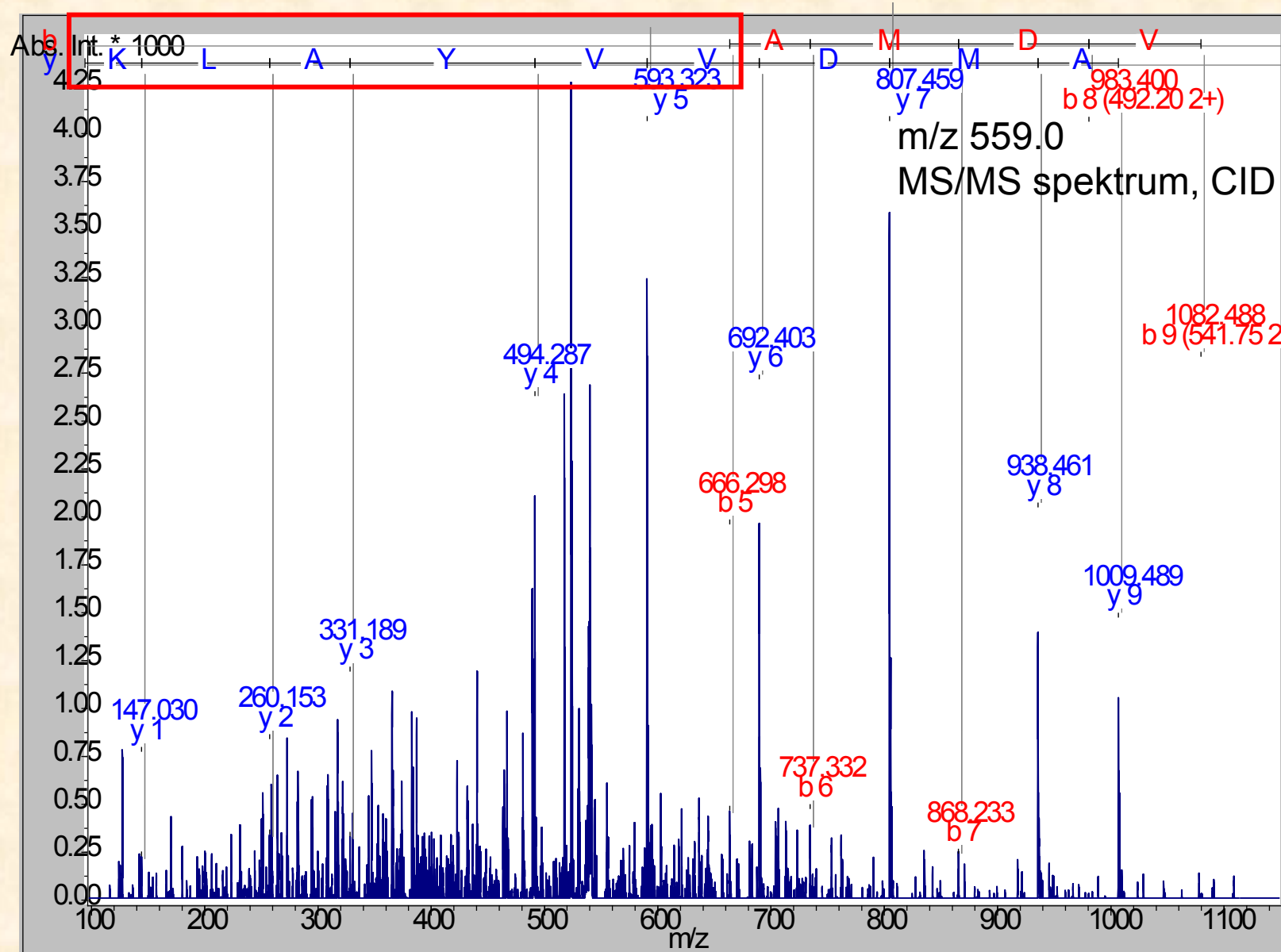
CID

RK <u>T</u> VTAMDVVYALK	520	23
RKT <u>V</u> TAMDVVYALK	518	22

ETD

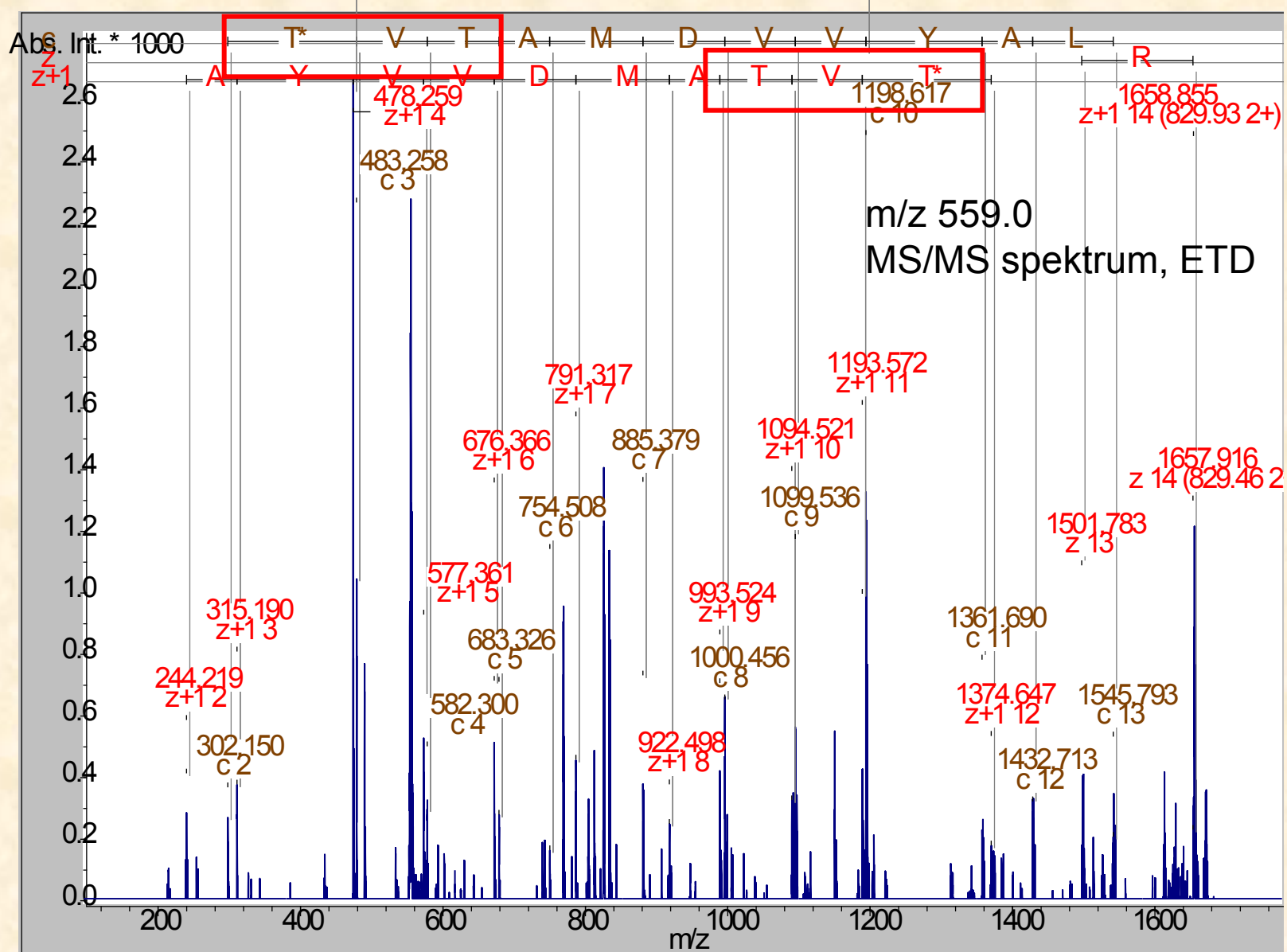
RK <u>T</u> VTAMDVVYALK	6149	75
RKT <u>V</u> TAMDVVYALK	774	47

RKTVTAMDVVYALK



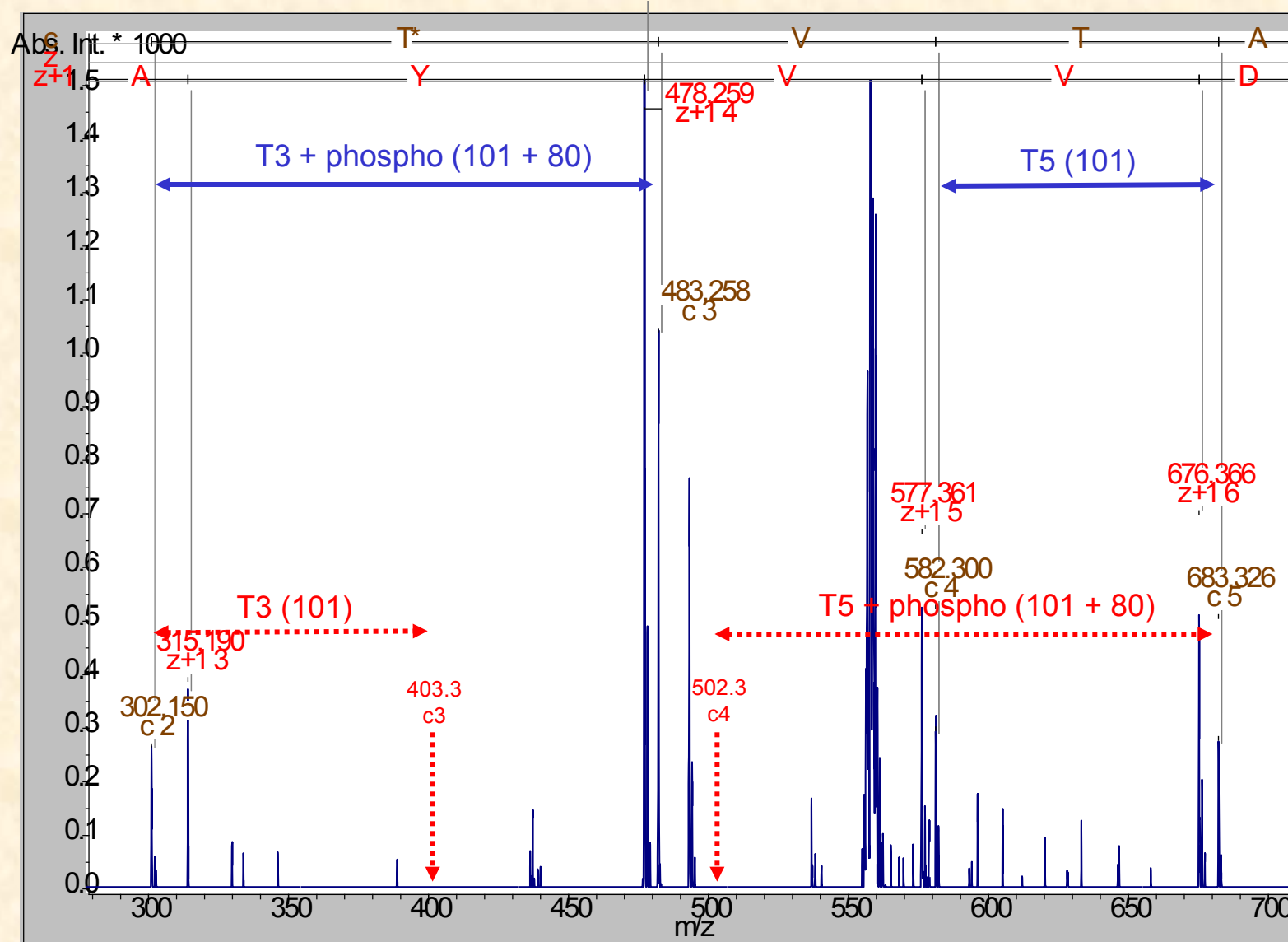
na základě CID MS/MS dat nelze fosfokupinu lokalizovat

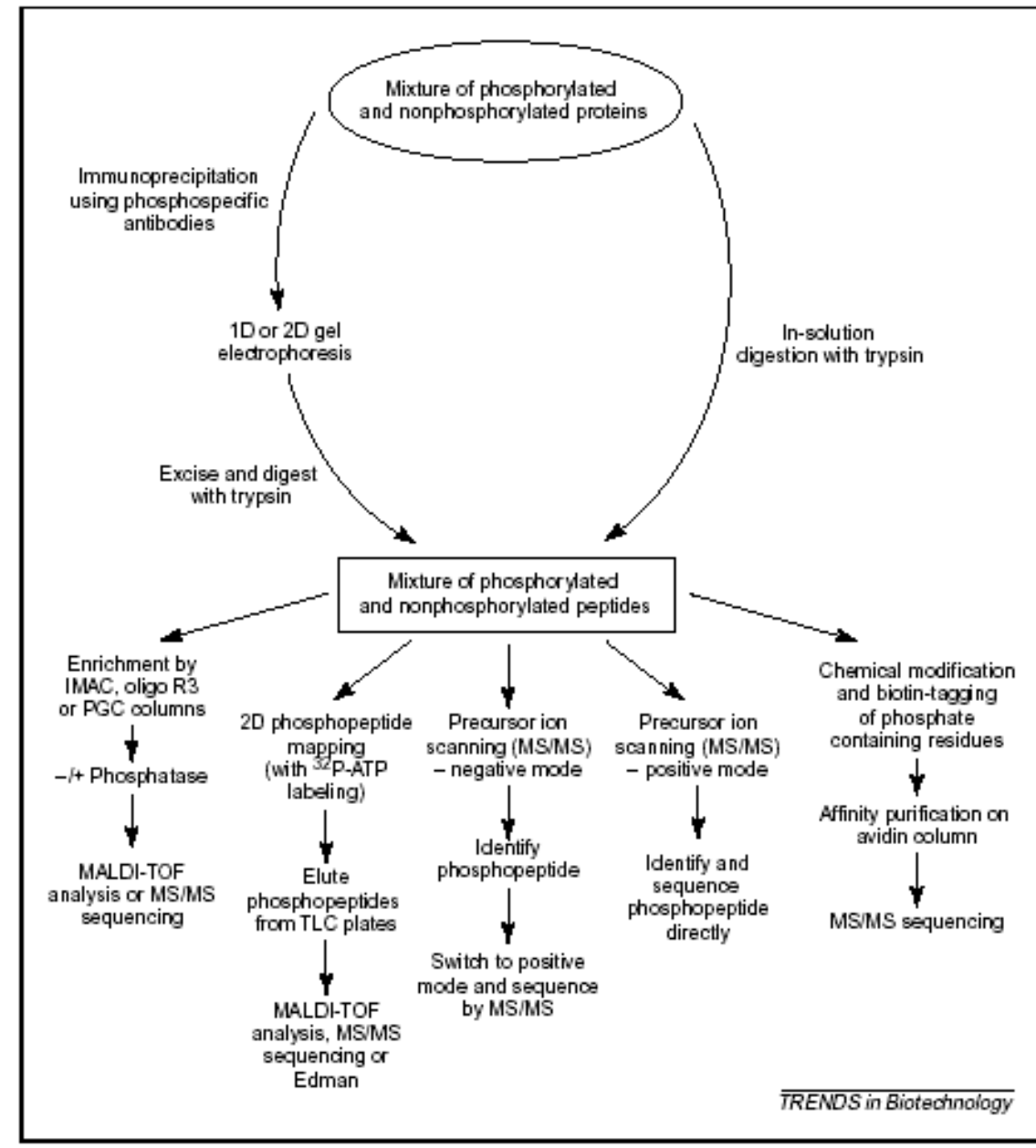
RKTVTAMDVVYALK



na základě ETD MS/MS dat lze jednoznačně lokalizovat fosfokupinu na T(3)

T(3) x T(5)





Bi7050



Photo Copyright Ralf Langer

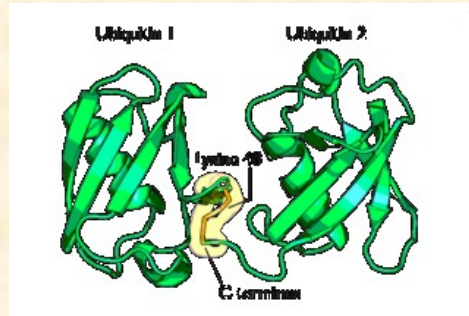
AIRLINERS.NET

Ubikvitinace

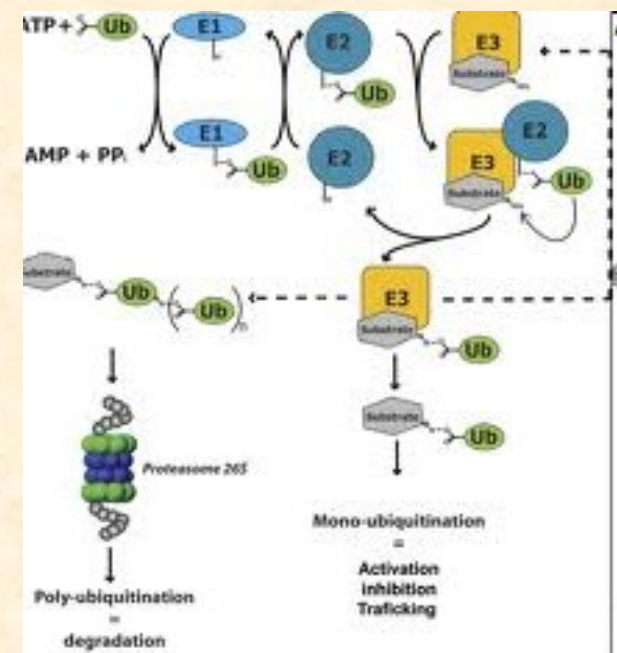
Ubiquitination is an enzymatic, protein post-translational modification (PTM) process in which the carboxylic acid of the terminal glycine from the **di-glycine motif** in the activated ubiquitin forms an amide bond to the epsilon amine of the lysine in the modified protein.

Protein ubiquitination regulates many cellular processes including transcription, endocytosis, cellcycle control, signal transduction, stress response, DNA repair as well as **proteasomal-mediated degradation**

- lokalizace modifikovaných AMK
- určení vazeb v polyubikvitinu

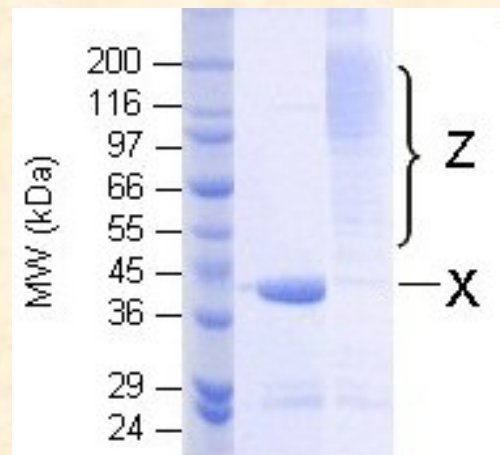


The most studied polyubiquitin chains - lysine48-linked - target proteins for destruction





heterogenita forem



ubikvitin – protein 8.5 kDa (76 AMK)

MQIFVKTLTGKTITLEVEPSDTIENVKAKIQDKEGIPPDQQQLIFAGKQLEDG
RTLSDYNIKESTLHLV LRLRGG



Strategie analýzy ubikvitinovaných míst

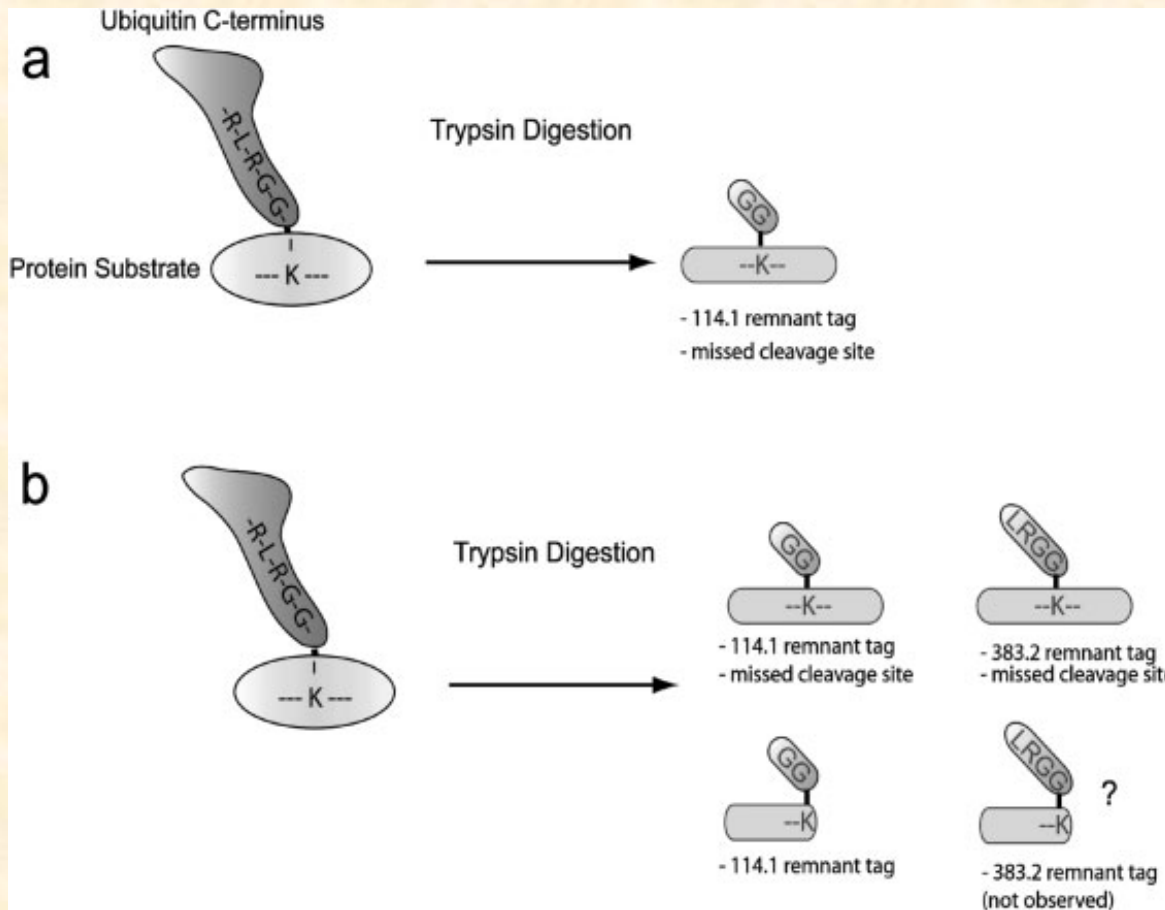
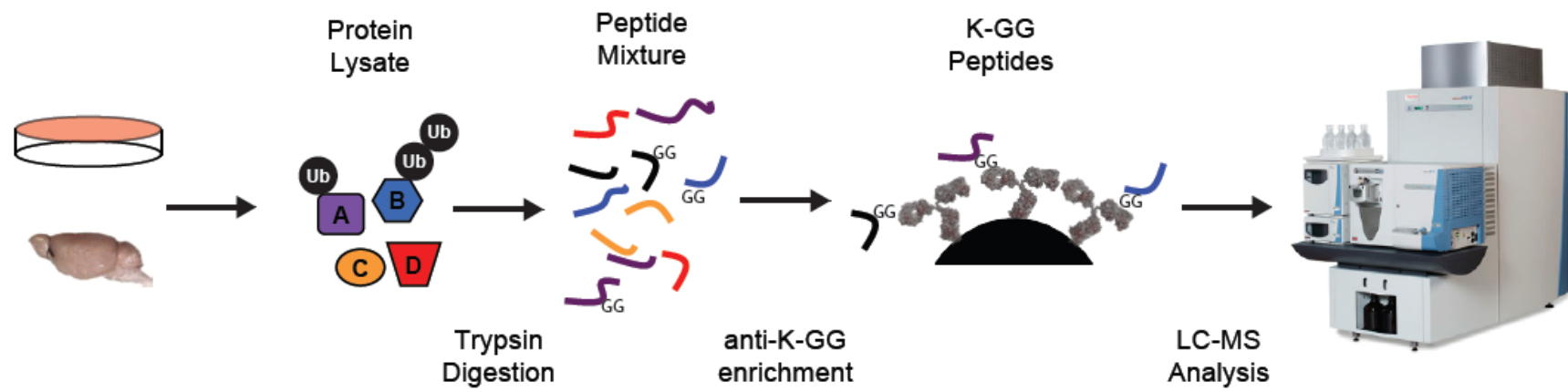


Schéma experimentu

B



D.Bustos, MCP, in press



Photo Copyright YOSHIAKI HOSHINA

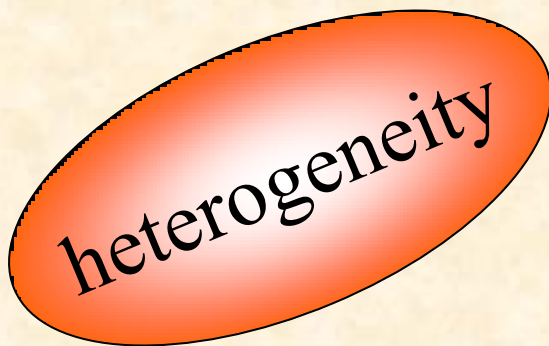
AIRLINERS.NET

Glykosylace

one of the most common post-translational modifications of proteins in eukaryotic cells.

involved in a wide range of biological functions such as receptor binding, cell signaling, immune recognition, inflammation, and pathogenicity.

Základní typy glykanů:

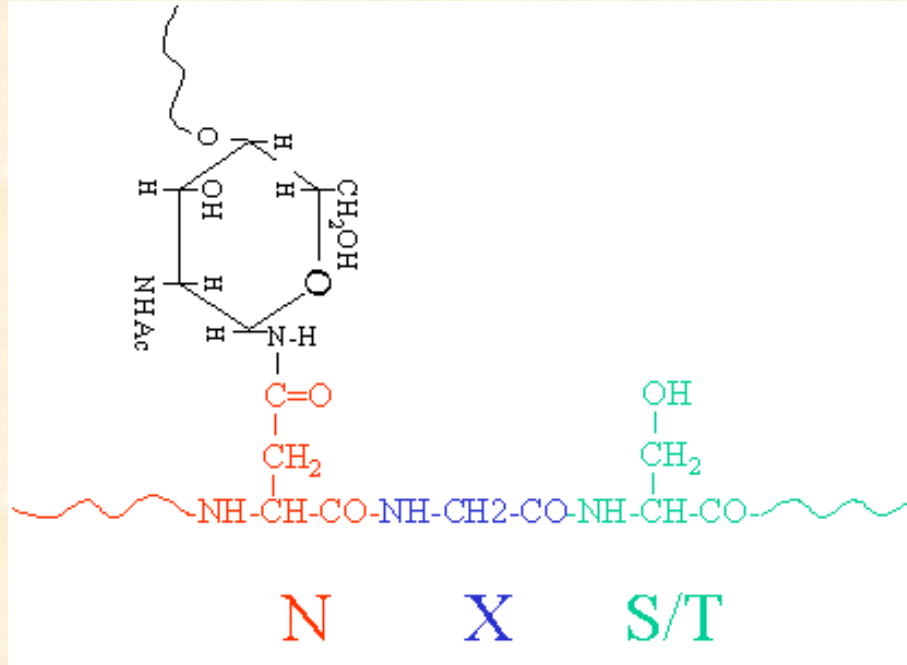


- N-linked
- O-linked
- GPI anchors

Variation in the degrees of saturation at available glycosylation sites results in heterogeneity in the mass and charge of glycoproteins

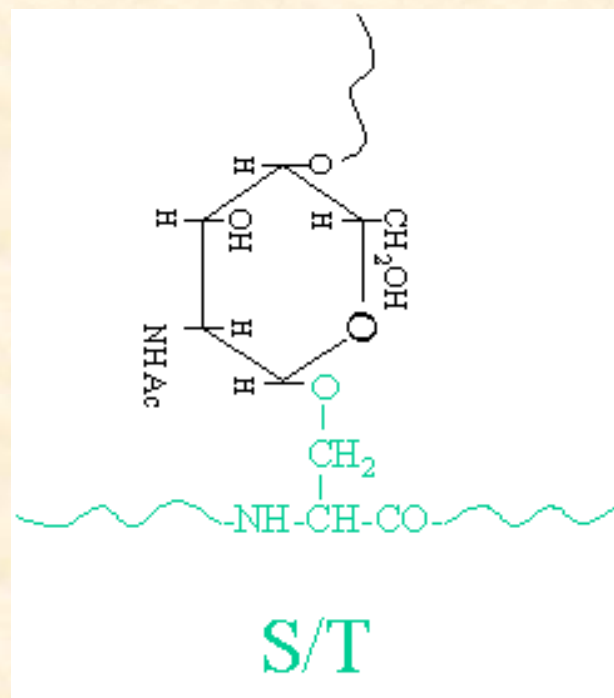
Signal Supression

<http://www.expasy.ch/tools/#ptm>



N - linked

O - linked



N-linked glycosylations

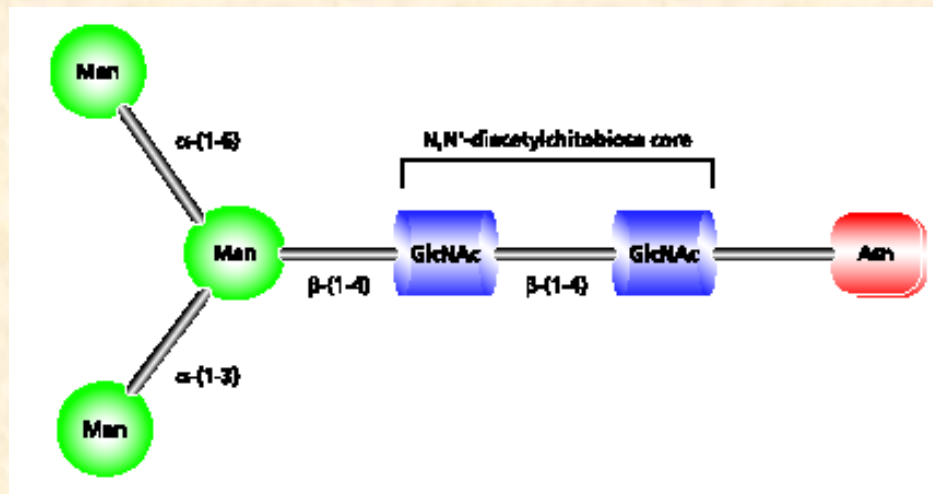
glycans are attached to the protein backbone via an amide bond to an asparagine during protein synthesis

N-X-S(T)

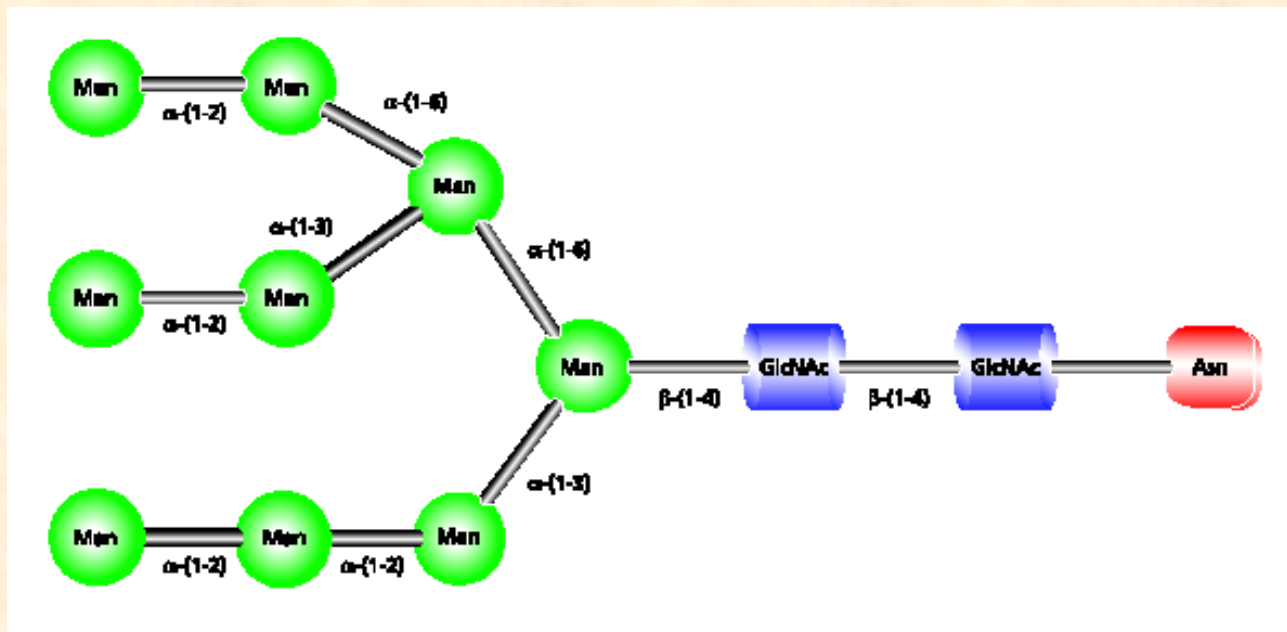
X nesmí být P

subtypes:

- High-mannose
- Hybrid
- Complex



N-linked:High-mannose subtype

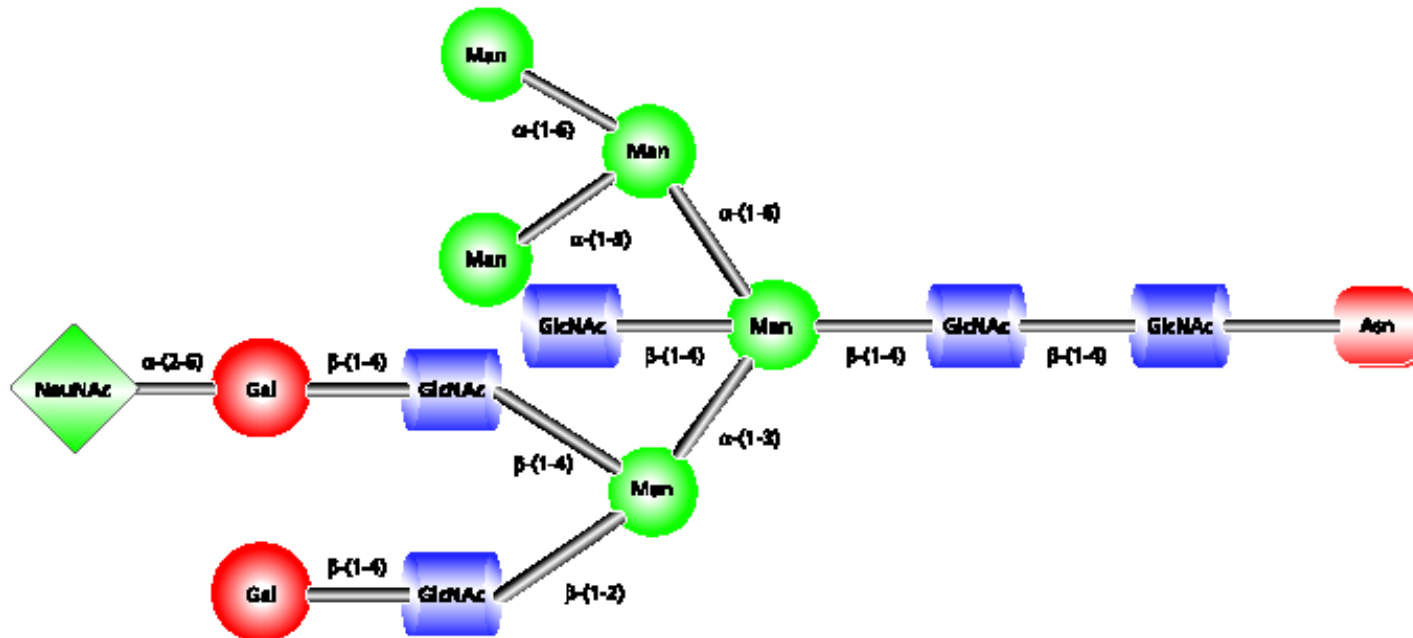


β -D-Mannose



β -D-*N*-Acetylglucosamine

N-linked: Hybrid subtype

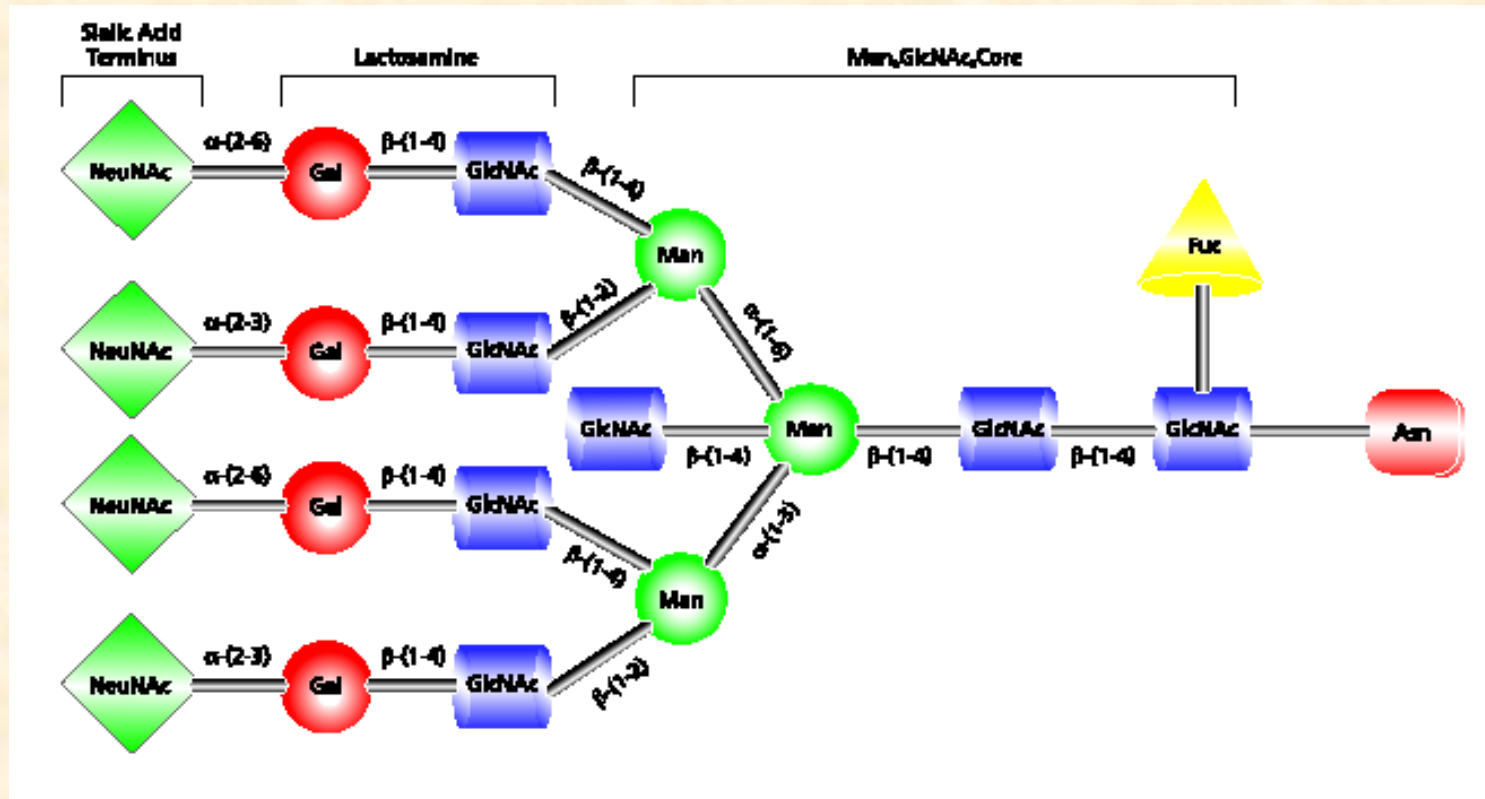


β -D-Galactose



α -N-Acetylneurameric acid (Sialic Acid)

N-linked: Complex subtype

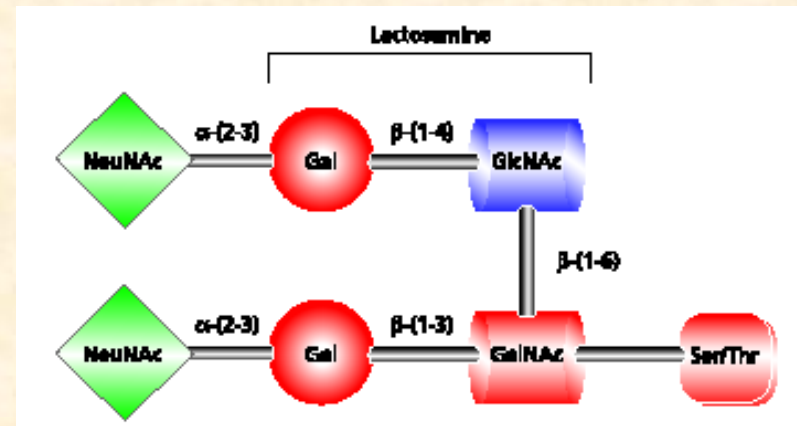
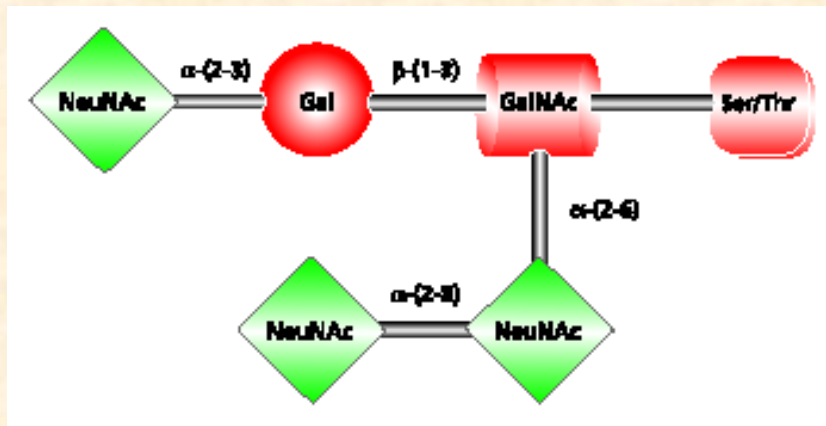


α -L-Fucose

O-linked glycosylations

glycans are linked via the hydroxyl group of serine or threonine

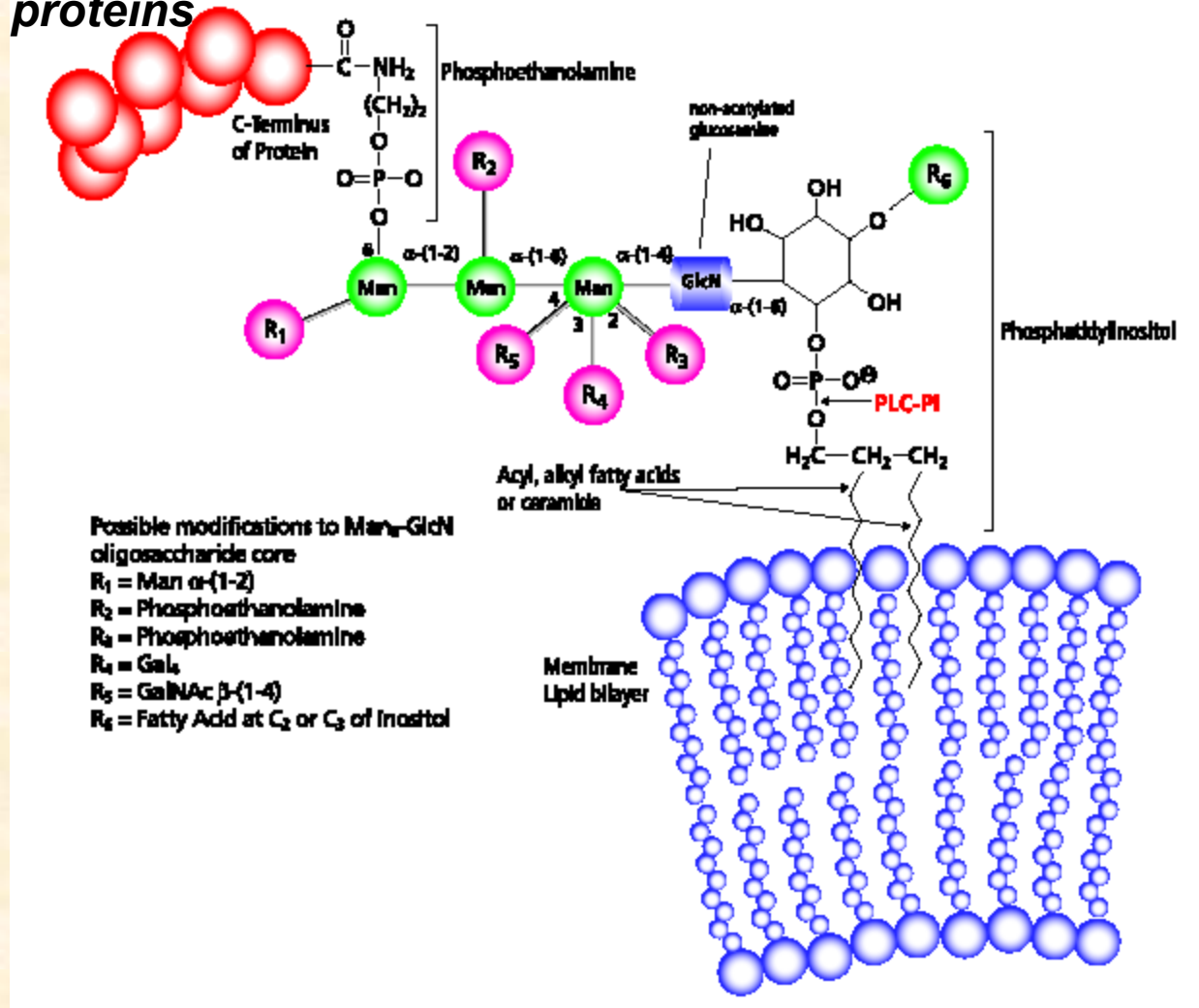
examples:



β -D-N-Acetylgalactosamine

GPI (glycosylphosphatidylinositol) anchors

anchors are linked via C-terminus, membrane bound proteins



Charakterizace glykoproteinů

- specifická detekce glykosylovaných proteinů
- identifikace proteinů
- určení glykosylačního místa
- určení struktury glykanu

Specifická detekce glykosylovaných proteinů

Pro-Q Emerald 300 - glyko only



další techniky detekce:

*kolorimetrická detekce
fluorescenční detekce*

specifické obohacení:

*afinitní chromatografie
(lektinové matrice.
m-Aminophenylboronic Acid)*

identifikace proteinu:

*Peptide mapping
MSMS Ion search*

Sypro Ruby - all

Deglykosylace

chemická:

Hydrazinolysis

Hydrazine hydrolysis has been found to be effective in the complete release of unreduced O- and N-linked oligosaccharides.

Alkaline β -Elimination - jen O-linked s vyjímkami

Trifluoromethanesulfonic Acid - destrukce glykanu

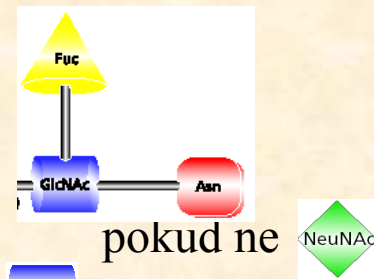
enzymatická:

PNGase F N-linked, vše pryč, pokud ne

PNGase A N-linked, vše pryč,

Endoglycosidase H N-linked, štípe až za prvním

Endoglycosidase F1, F2, F3 N-linked, štípou specificky ke struktuře



O-Glycosidase O-linked. vše pryč

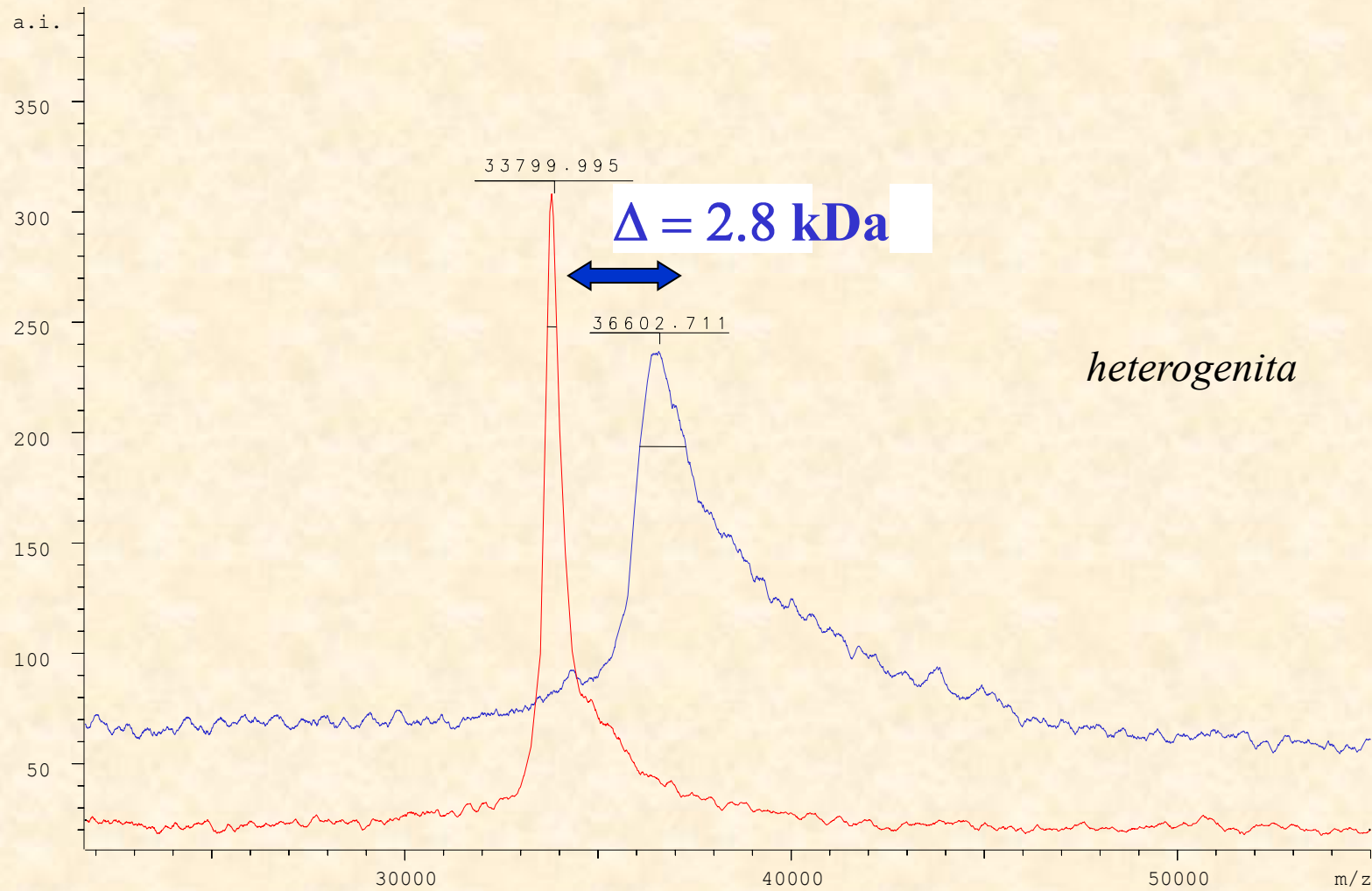
β -galactosidase štípe před Gal

...

Určení místa glykosylace, resp. struktury glykanů

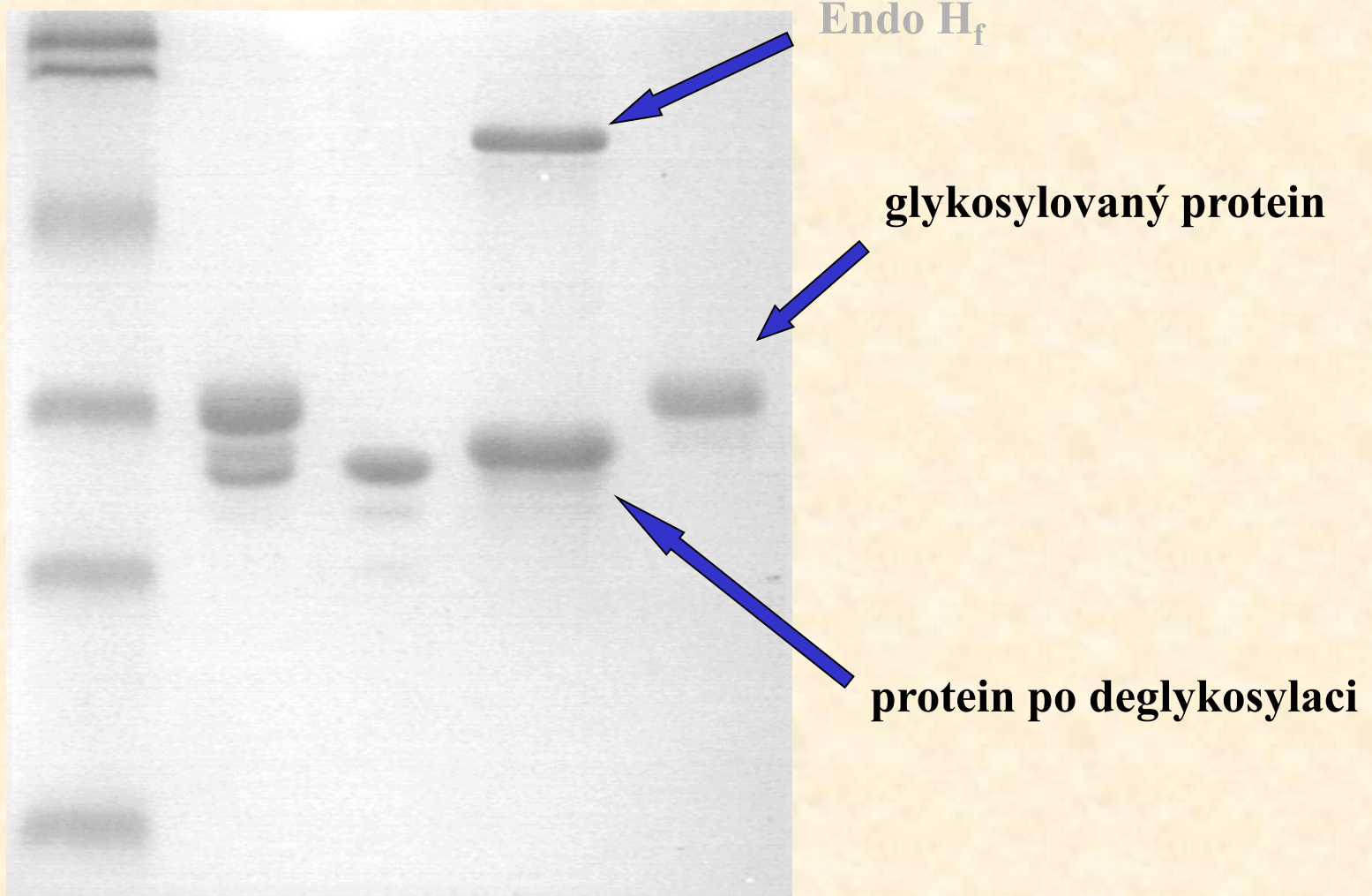
- **glykosylace „jen“ na S nebo T** (O-linked)
NXS(T) (N-linked)
*lze vtipovat potencionální glyko místa
určité strukturní typy u glykanů (high-mannose....)*
- **kombinace MS a MS/MS technik**
- **separace glykoproteinů resp. glykopeptidů**
- **vhodná deglykosylační strategie**

MALDI-MS spectrum of glycosylated and non-glycosylated protein size of glycan part



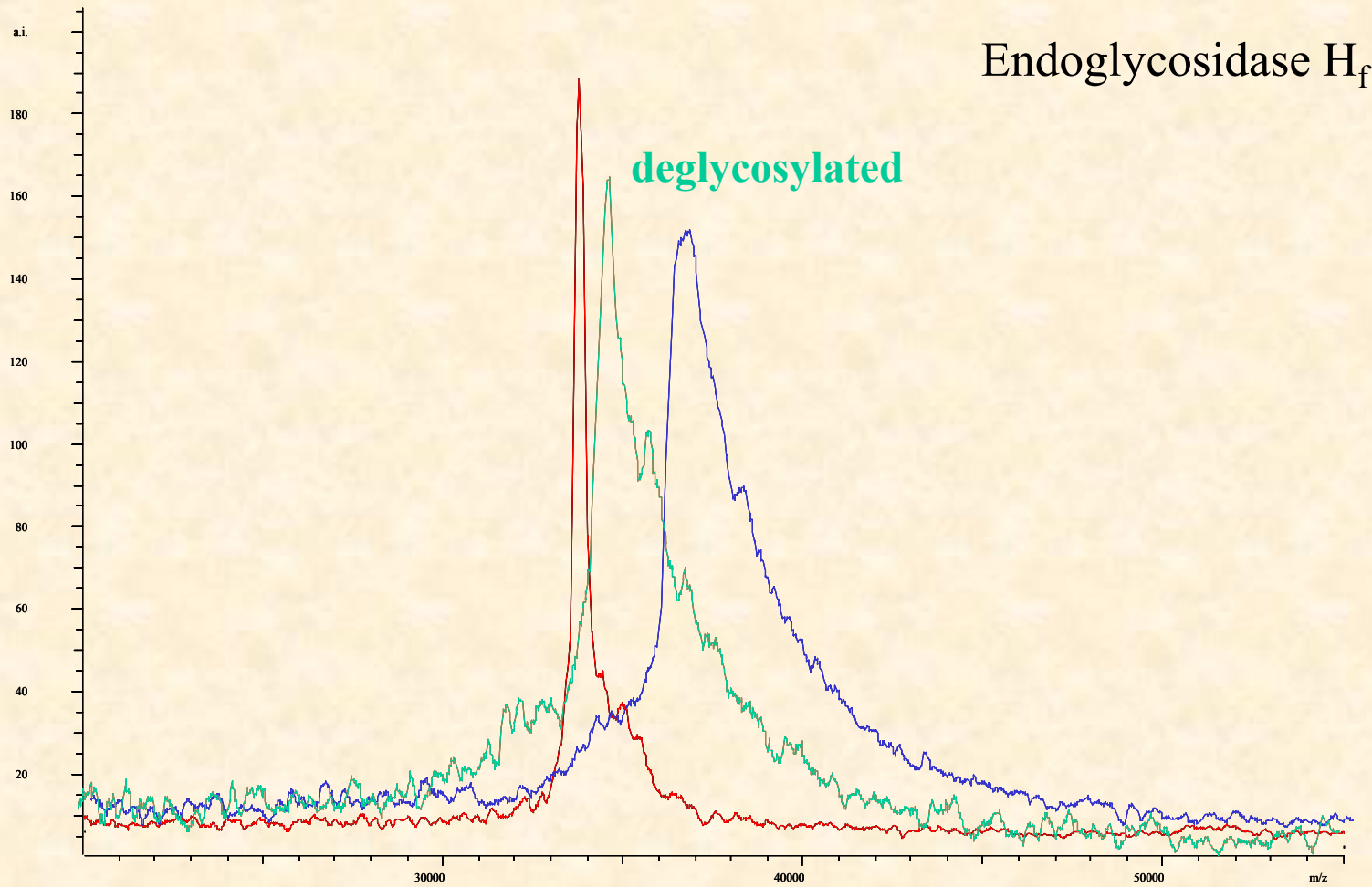
1D GE of protein before and after deglycosylation

confirmation of glycosylation

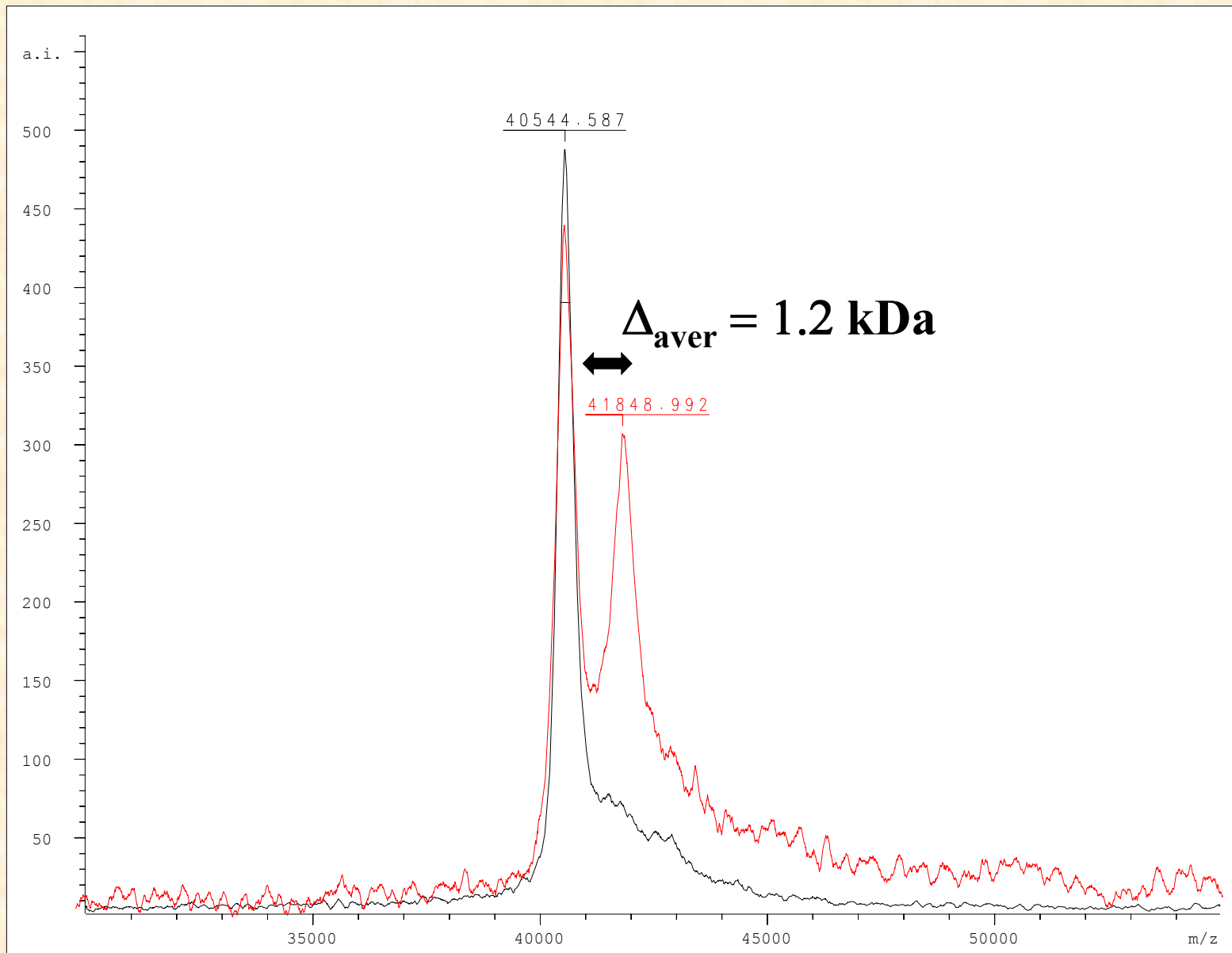


MALDI-MS spectrum of deglycosylated protein

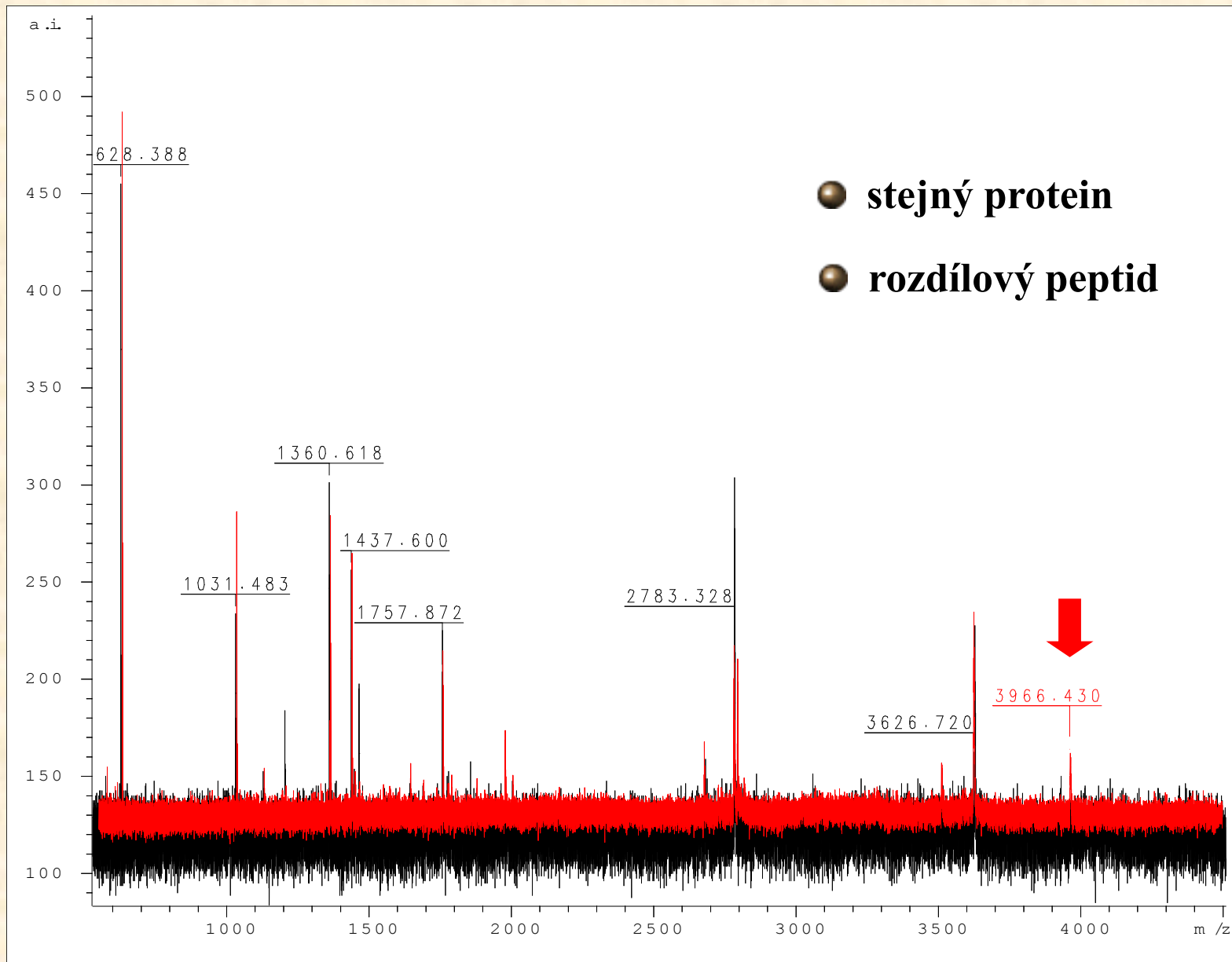
confirmation of glycosylation



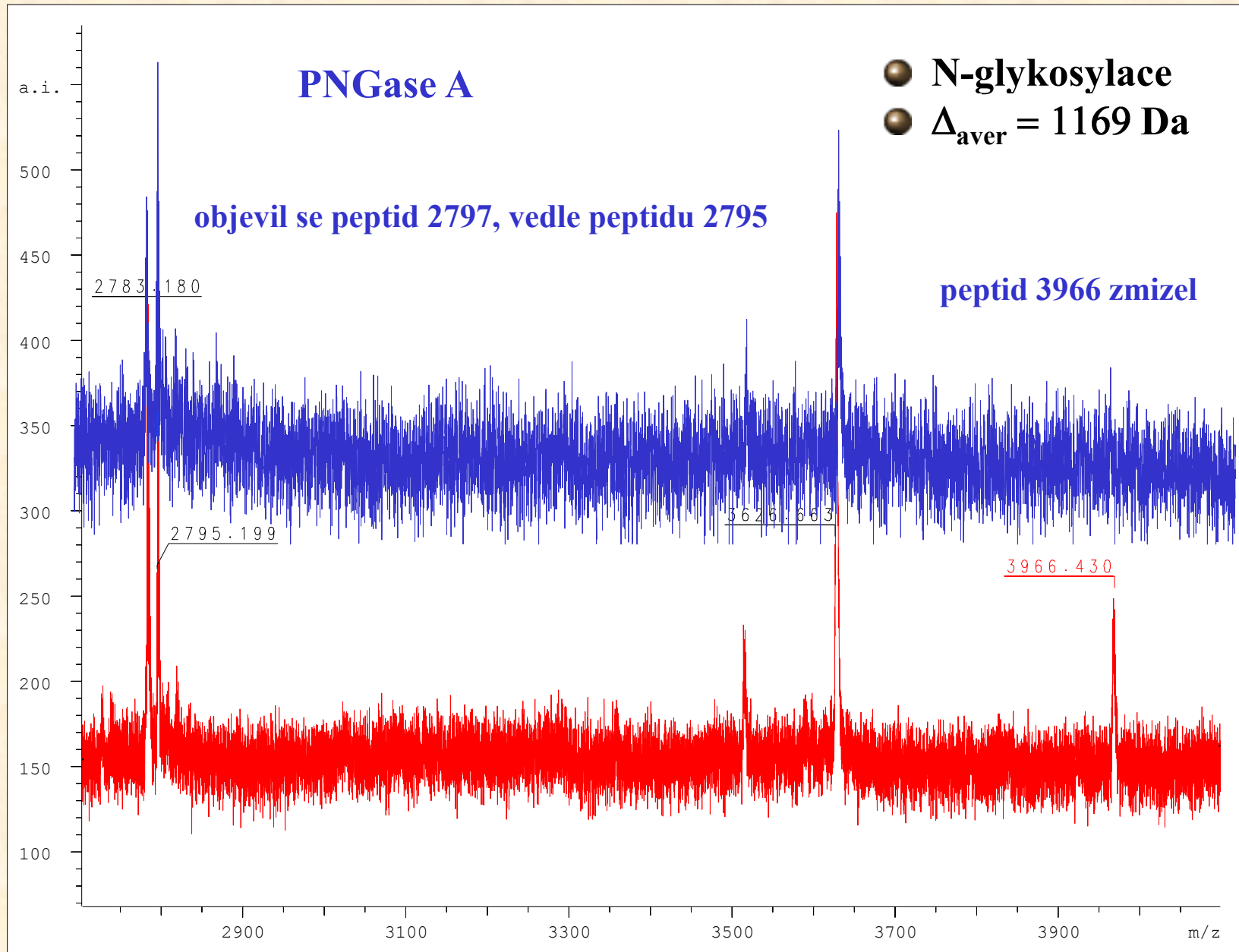
MALDI-MS celých proteinů



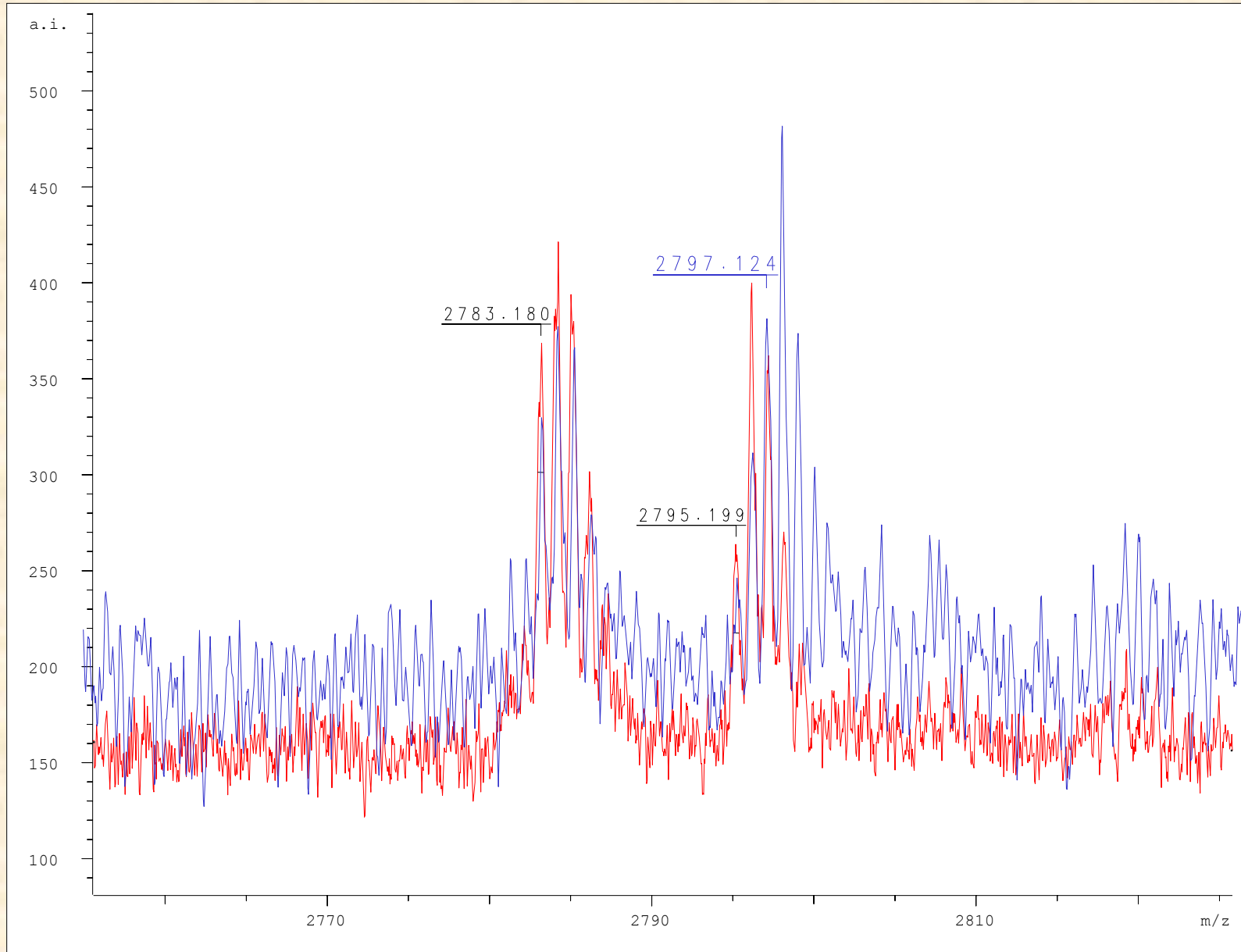
MALDI-MS tryptických digestů



Detail spekter digestů proteinu před a po deglykosylaci



Detail spekter digestů proteinu před a po deglykosylaci



Shrnutí výsledků

tryptický peptid 2796 Da ...PHIFDYSGS... ,
 kde D vzniká z N po deglykosylaci PNGasou A

původní sekvence je tedy ...PHIFNYSGS... (hmotnost 2795 Da)

Peptid potvrzen také LCMSMS analýzou (v glykosylovaném vzorku digestu nebyl nalezen)

**Hmotnost glykanu 1170 Da odpovídá
xylose+fucose+3*mannose+2*N-acetylglukosamin**

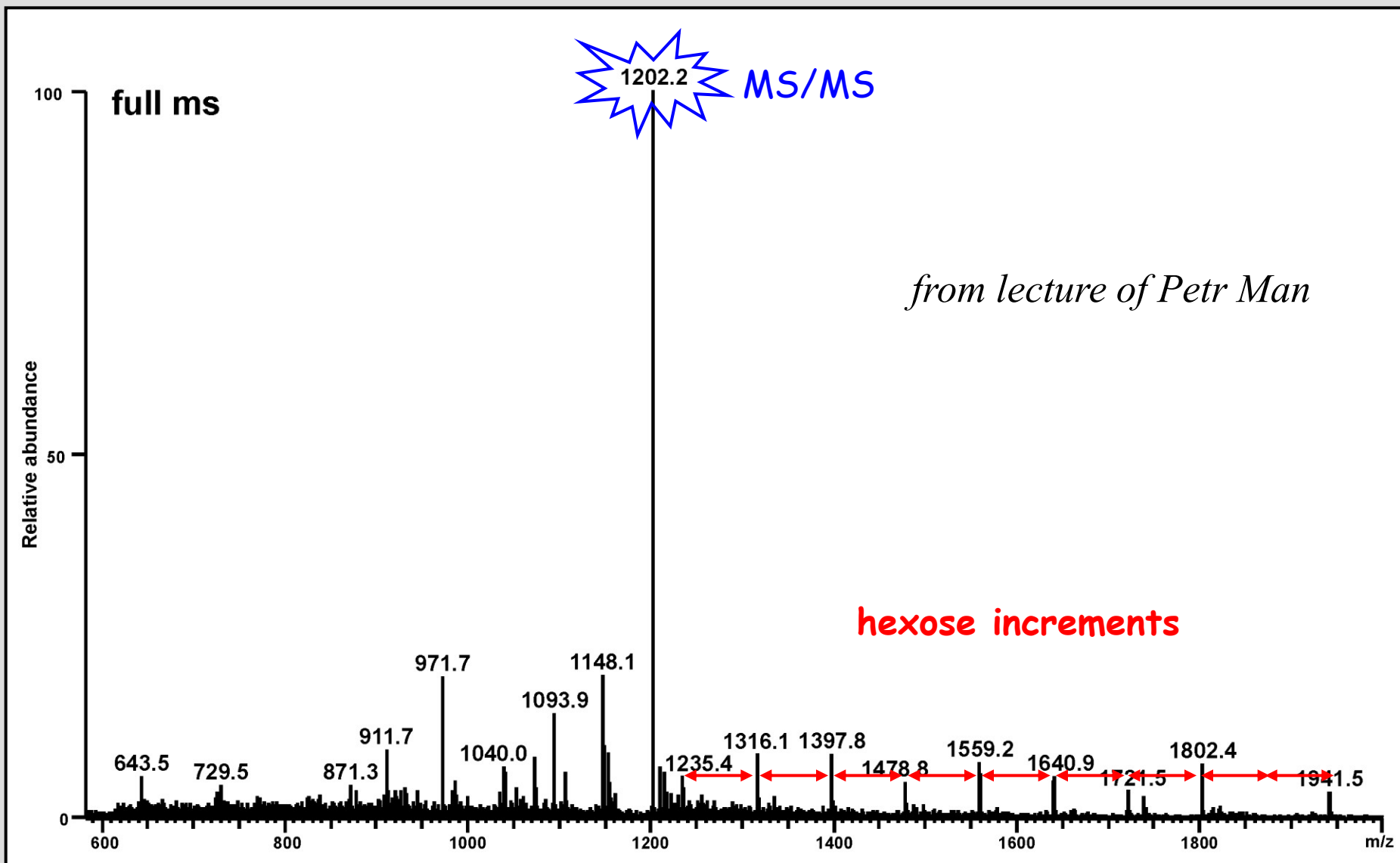
Nebyl dále potvrzen MSMS technikami

...missing parts have potential N-glycosylation sites...

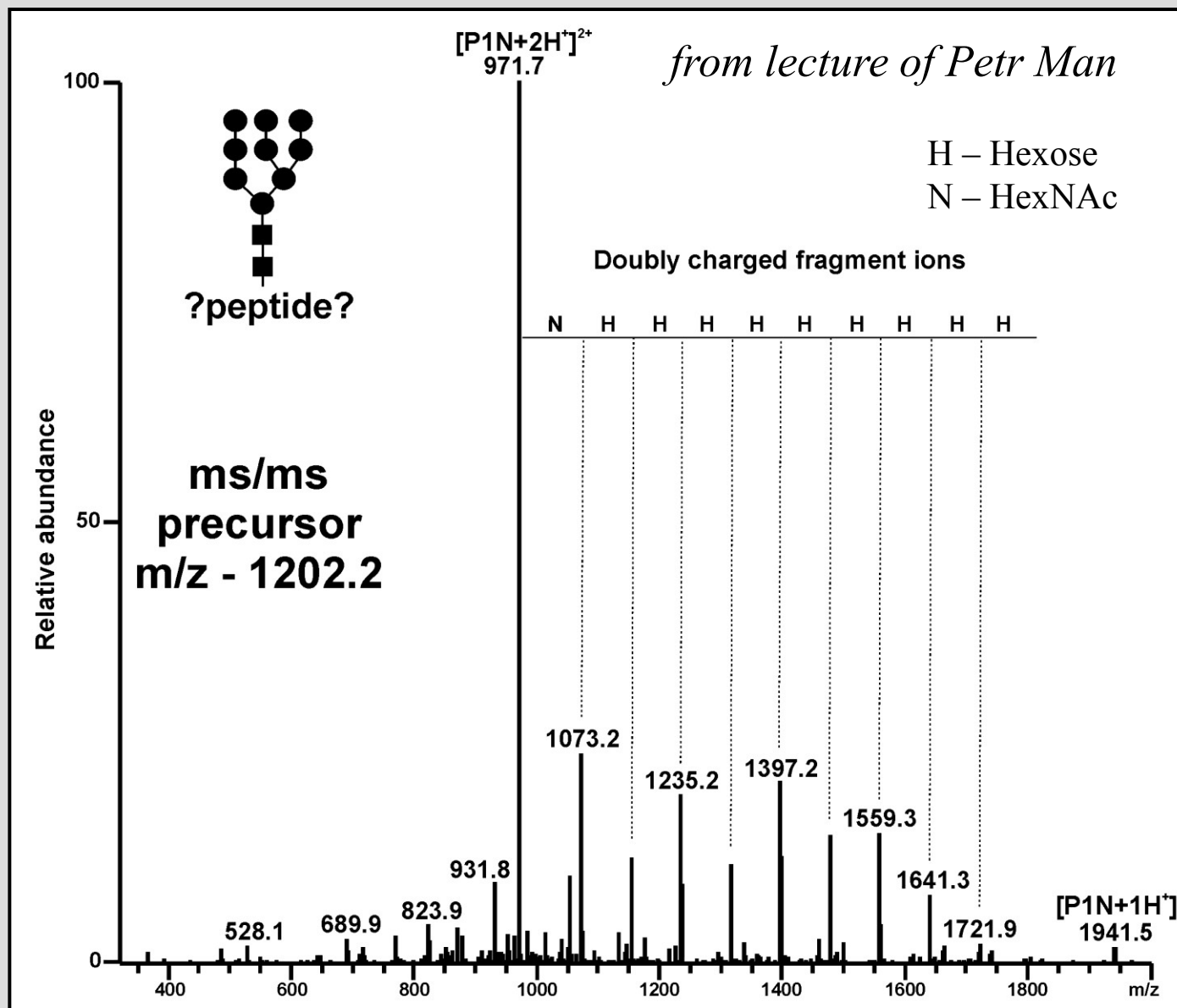
MLRNVCVPVLILLIIGATAQDPTDV**G**EAFANVEWSVAELKRV
LVMGVPRDCGELFLSGQ**NHS**GVYNIYPYKDSLLPVS
AYCDMETDGGGWTVFQRRGQFGNPVYYFYKKWA
DYAHGFGDPAKEYWLGNNVLHALTSDKAMSLRIE
KNHSLETLTAEYSVFK**V**ASEEYFKINVGGYIGSK
GSDAFSIANGSMFTASDQDHDTYTNNCAVEFKG
AWYTSCHGSNLNGLNLNGEHPSYADGIEWSAR
GGSTGLYYYSYPNVEMKVRDAHFISRVAADGRAS

from lecture of Petr Man

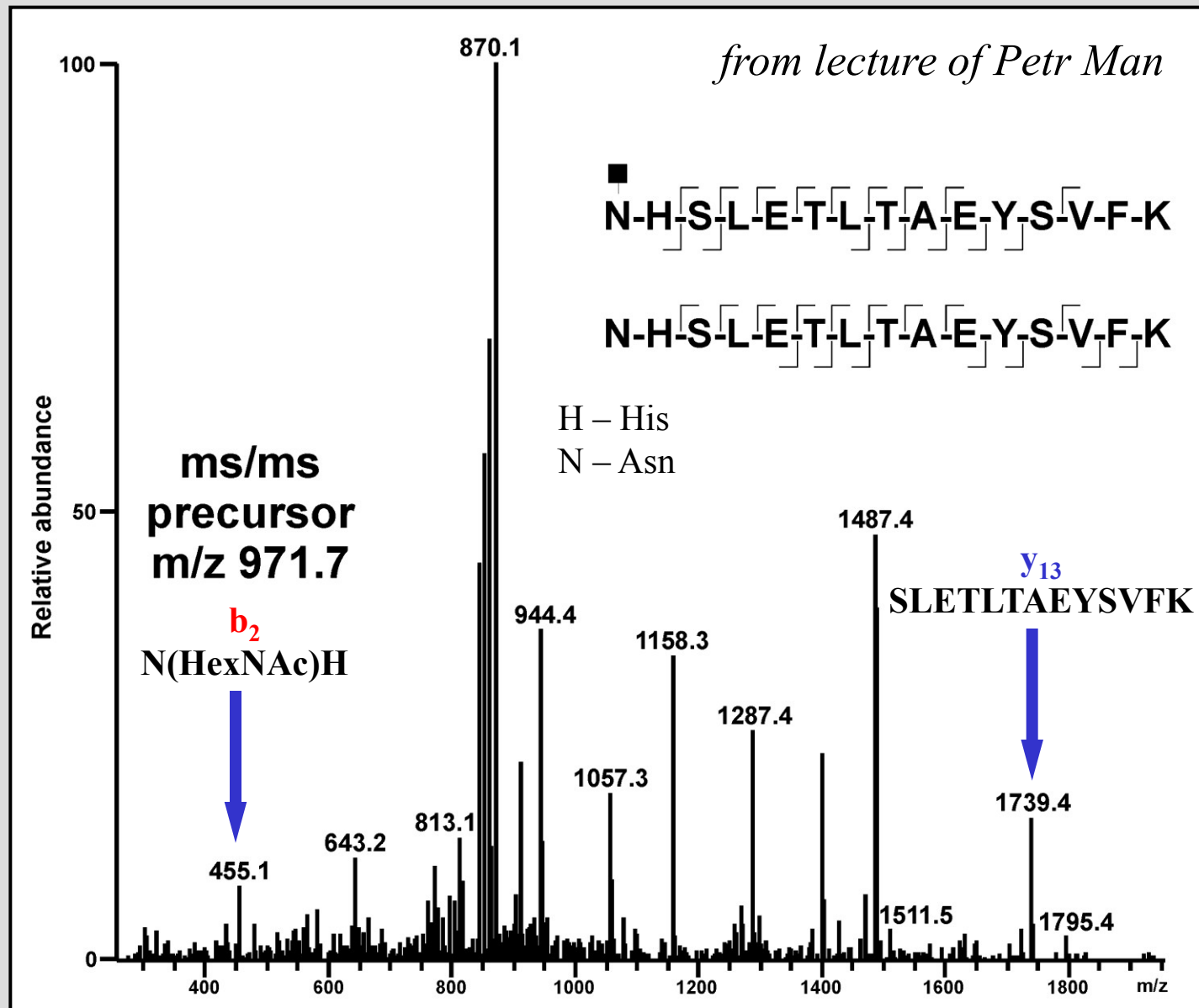
... glycopeptide...



MS/MS from 1202.2 - - glycopeptide, type of glycan identified



MS/MS from 971.7 - peptide with one HexNAc - site of glycosylation identified



MLRNVCPVLILLIIGATA QDPTDV GEAFANVEWSVAELKRV
LVMGVPR DCGELFLSGQNHSGVYNIYPYKDSLLPVS
AYCDMETDGGGWTVFQRRGQFGNPVYYFYKKWA
DYAHGFGDPAKEYWLGNVLHALTSDKAMSLRIE
KNHSLETLTAEYSVFK VASEEEYFKINVGGYIGSK
GSDAFSIANGSMFTASDQDHDTYTNNCAVEFKG
AWYTSCHGSNLNGLNLNGEHPSYADGIEW SAR
GGSTGLYYY SYPNVEMKVRDAHFISR VADGRAS

from lecture of Petr Man

MALDI-MS spectrum of ribonuclease B

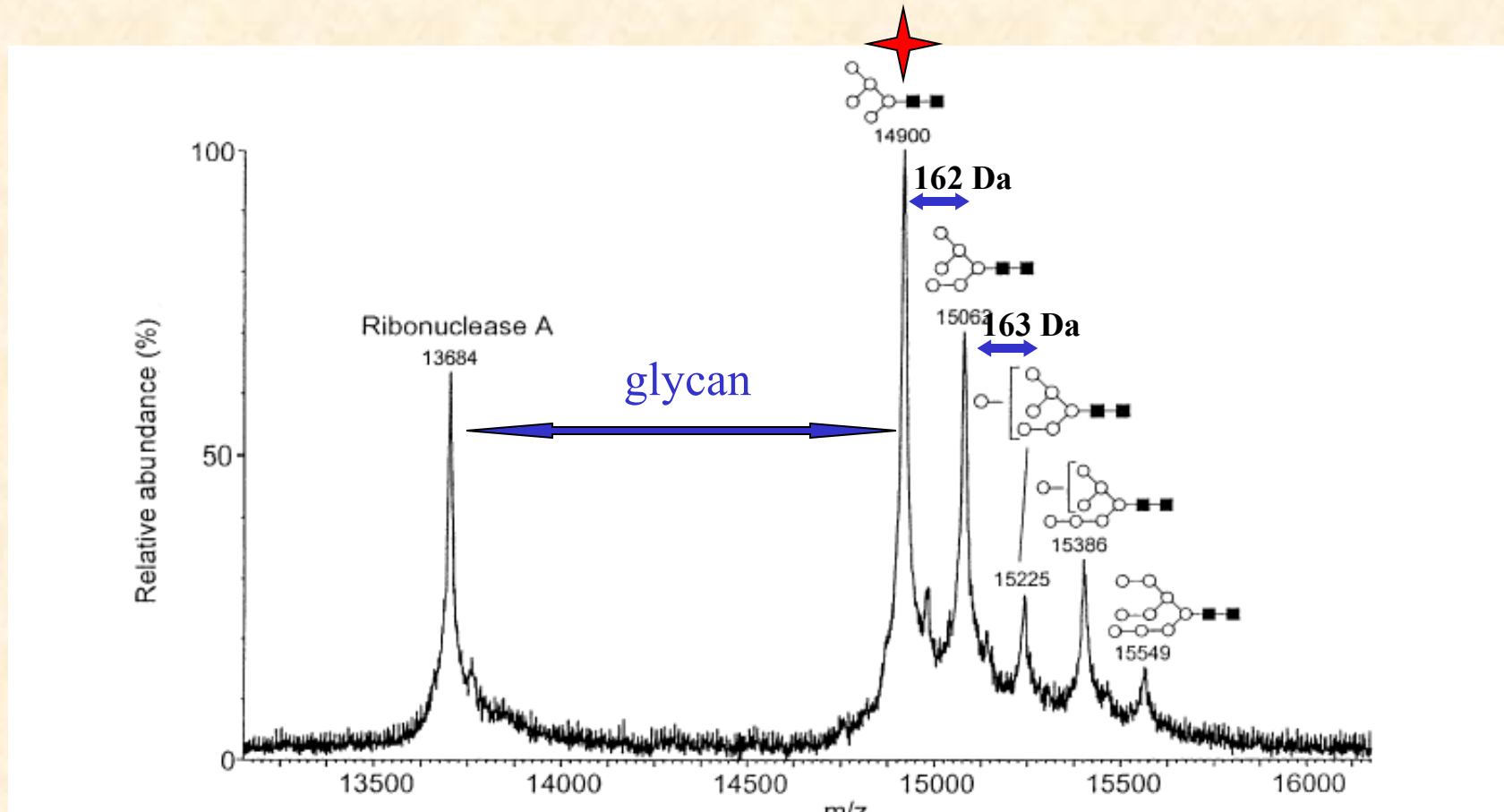


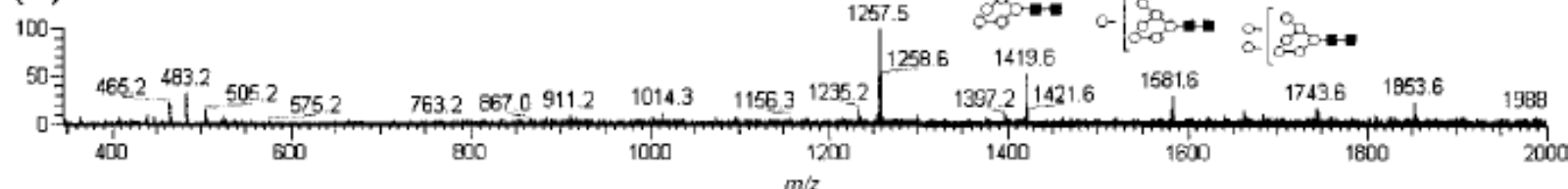
Fig. 2. Positive ion linear MALDI mass spectrum of a mixture of ribonuclease A (unglycosylated) and B (glycosylated) recorded from 4-HCCA with a Micromass TofSpec 2E mass spectrometer. The structures of the five high-mannose glycans attached to the protein to form ribonuclease B are shown. Key to symbols: (■) GlcNAc, (○) mannose.

MS_n of ribonuclease B glycans (AP-MALDI-IT MS)

Bi7050

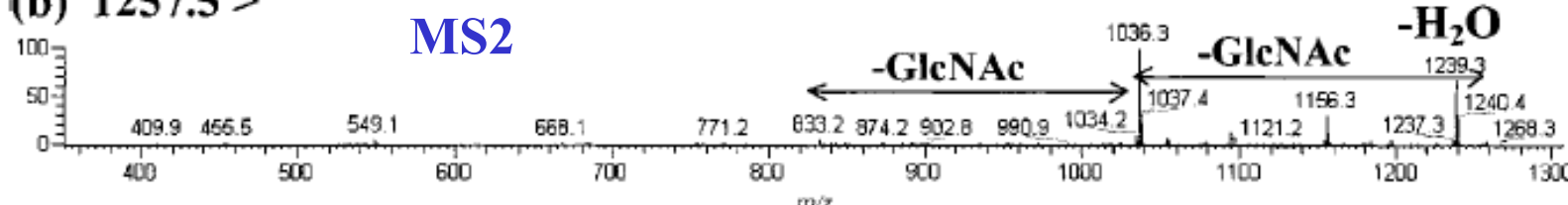
(a)

MS



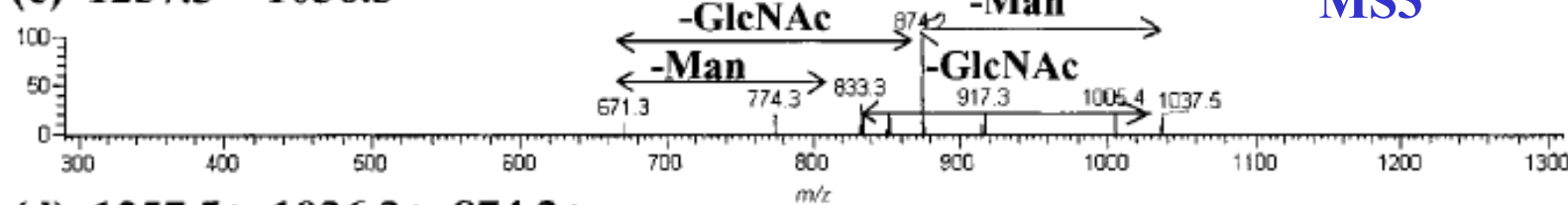
(b) 1257.5 >

MS2



(c) 1257.5 > 1036.3 >

MS3



(d) 1257.5 > 1036.3 > 874.2 >

MS4

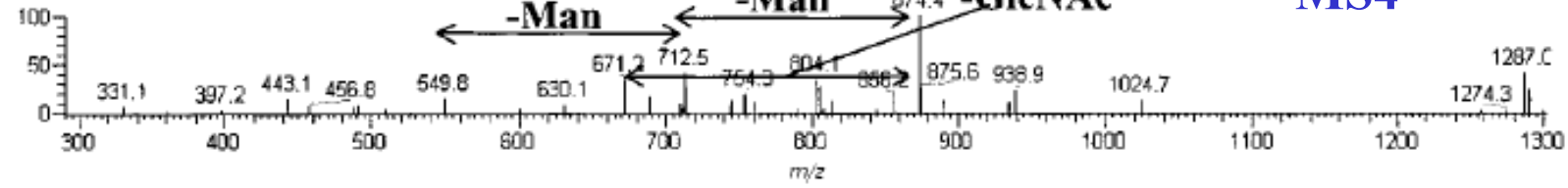
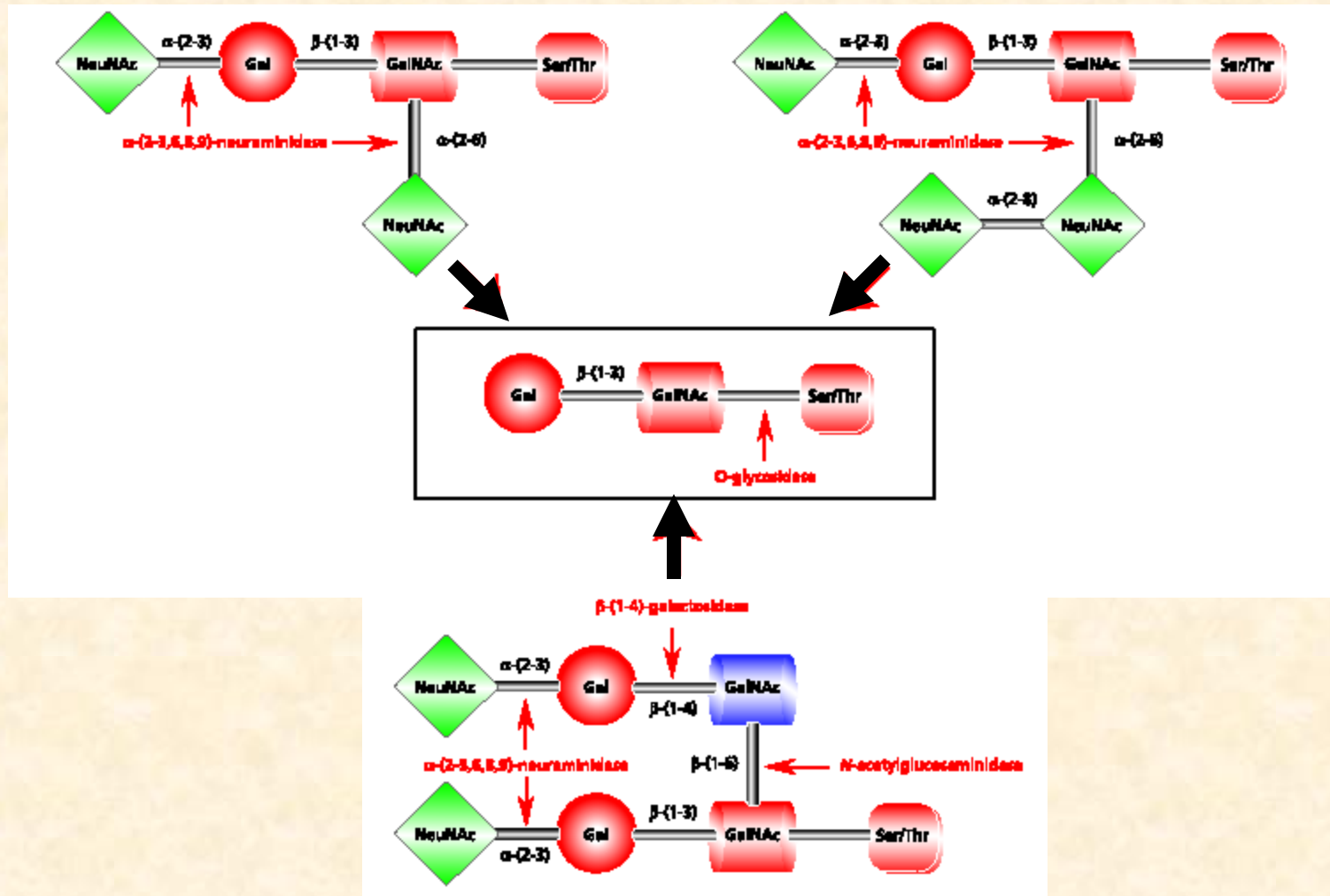


Figure 6. MS⁴ analysis of ribonuclease-B glycans from a HABA matrix. (a) MS spectrum of underivatised glycan solution (500 pmol); (b) MS/MS spectrum of $(\text{Man})_5(\text{GlcNAc})_2$ (m/z 1257.5); (c) MS³ spectrum of $(\text{Man})_5\text{GlcNAc}$ (m/z 1036.3); and (d) MS⁴ spectrum of $(\text{Man})_4\text{GlcNAc}$ (m/z 874.2).

Kombinace deglykosidačních enzymů



Postupná deglykosylace různými enzymy (MALDI-MS)

Bi7050

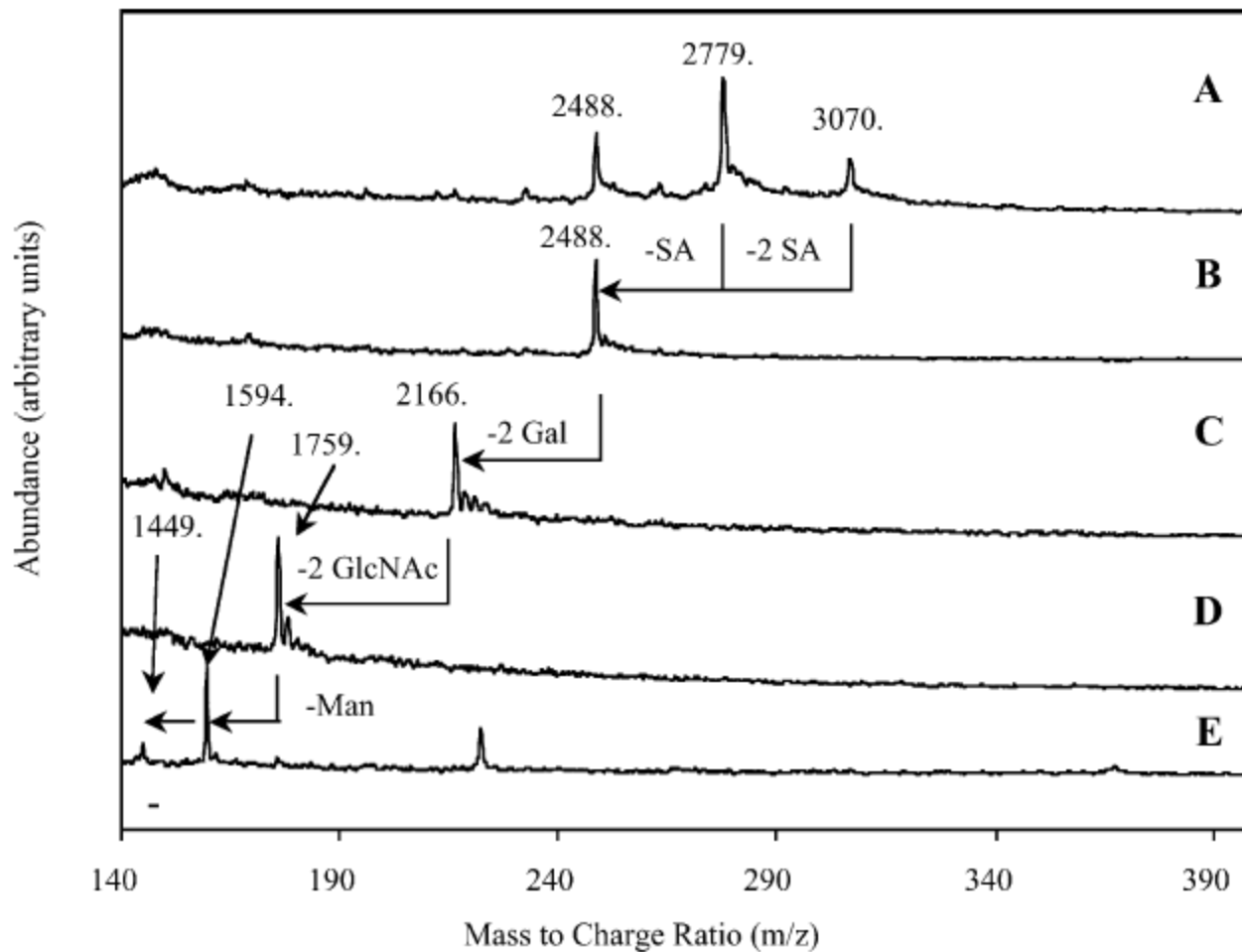


Fig. 2. MALDI-MS analysis of fraction T9 (A), after the digestion of fraction T9 with sialidase S (B), followed by β 1-4 galactosidase (C) and then by β 1-2-N-acetylglucosaminidase digestion (D). MALDI-MS analysis of fraction T9 after treatment with α 1-6-fucosidase and α -mannosidase (E).



Bolaa 360

360.bolaa.com



joke.

2